

## UMA PROVA ELEMENTAR DA FÓRMULA DE EULER USANDO O MÉTODO DE CAUCHY

JEAN-PAUL BRASSELET E NGUYỄN THỊ BÍCH THỦY

RESUMO. O uso do método de Cauchy para provar a conhecida fórmula de Euler é objeto de muitas controvérsias. O objetivo deste artigo é mostrar que o método de Cauchy se aplica para poliedros convexos e não somente para eles, mas também para superfícies como o toro, o plano projetivo, a garrafa de Klein e o toro pinçado.

### INTRODUÇÃO

A fórmula “de Euler” diz que para qualquer poliedro convexo, a soma alternativa

$$(1) \quad n_0 - n_1 + n_2,$$

vale 2, onde os números  $n_i$  estão respectivamente o número de vértices  $n_0$ , o número de arestas  $n_1$  e o número de polígonos (de dimensão 2)  $n_2$ . Há muitas controvérsias sobre a paternidade da fórmula, também sobre quem deu a primeira prova correta. Neste artigo, vamos investigar a história da fórmula e a sua prova pelo método de Cauchy.

Na primeira seção do artigo, introduzimos as noções de poliedro, triangulação, representação planar, assim que gênero e orientação. Na seção 2, providenciamos precisamente alguns elementos sobre a história da fórmula assim que sobre a primeira prova topológica dada por Cauchy. Alguns autores criticam a prova de Cauchy, dizendo que a prova necessita resultados profundos da topologia que foram provados depois da época de Cauchy: “*Não se pode, portanto, esperar obter uma demonstração elementar do Teorema de Euler, com a hipótese de que o poliedro é homeomorfo a uma esfera, como fazem Hilbert-Cohn Vossen e Courant-Robbins*” (Lima, [Li2]). Observe que a prova dada por Hilbert-Cohn Vossen [HC] e Courant-Robbins [CR] é a prova de Cauchy.

Na seção 3, mostramos que, com uma técnica de “alongamento” e o uso somente de sub-triangulações, a prova de Cauchy funciona sem usar os demais resultados. Mais precisamente, considere um polígono triangulado no plano, com possíveis identificações dos simplexos na sua borda, provamos que a diferença entre as somas (1) do polígono e da sua borda vale +1 (Teorema 3.1). A ideia de nossa prova é, a partir do buraco formado pela remoção de um triângulo, estendemos o buraco por poças sucessivas. O processo é ilustrado pela construção de uma pirâmide adequada. Uma consequência direta do teorema é uma prova elementar da fórmula de Euler usando apenas o método de Cauchy.

Na seção 4, nosso propósito é mostrar que a prova de Cauchy vale com ferramentas conhecidas do tempo de Cauchy não somente para a esfera mas também para superfícies trianguláveis como o toro, o toro de gênero 2 e 3, o plano projetivo, a garrafa de Klein e até o toro pinçado, que é uma superfície singular.

Para ser completamente honesto, na parte de aplicações (seção 4), exceto o caso da esfera, usamos também a ideia de “cortar” superfícies que, em geral, foi introduzida por Alexander Veblen em um seminário em 1915 (veja [Bra]). Obviamente, pode-se perguntar por que não aplicamos o teorema 3.1

e o raciocínio para mostrar o resultado para todas as superfícies (suaves) orientáveis e não orientáveis. A razão é muito simples: queremos fornecer provas, como foi possível na época de Cauchy. Foi somente em 1925 que T. Radó [Rad] provou o teorema de triangulação para superfícies, que era mais ou menos admitido na época de Cauchy. O teorema da classificação de superfícies compactas e a representação sob a forma “normal” foi provado pela primeira vez de maneira rigorosa por H.R. Brahan [Bra] (1921). É claro que, usando nosso teorema 3.1 e a representação de superfícies sob a forma normal, obtemos imediatamente o resultado para a característica de Euler-Poincaré de qualquer superfície compacta. No entanto, é como a serpente que morde o seu próprio rabo, ou seja “remar contra a maré”. Isso é a razão pela qual não apresentamos o resultado para superfícies em geral, mas apenas o que é possível fazer com o método de Cauchy em algumas superfícies elementares, ao fim de respeitar a cronologia e a história.

Este artigo é uma versão em português e ampliada do artigo dos mesmos autores, em inglês: “An elementary proof of the Euler’s formula using the Cauchy’s Method”.

O artigo é também uma versão estendida da primeira parte do minicurso ministrado pelos autores durante a XXVIII SEMAT Semana de Matemática, 17 a 21 de Outubro de 2016 no Instituto de Biociências, Letras e Ciências Exatas (IBILCE) - Câmpus de São José do Rio Preto da Universidade Estadual Paulista “Júlio de Mesquita Filho” (UNESP). A segunda parte, Teorema de Poincaré-Hopf, foi publicada na Revista Eletrônica Paulista de Matemática C.Q.D [BT].

O primeiro autor teve auxílio financeiro da FAPESP (processo UNESP-FAPESP no. 2015/06697-9).

## 1. TRIANGULAÇÕES - ORIENTAÇÃO

Nesta seção introduzimos essencialmente a noção de triangulação. Por isso, precisamos as definições de complexo simplicial, de poliedro assim que de representação planar.

**1.1. Poliedros.** Há muitas definições de poliedros dependente de autores. A primeira discussão diz respeito à dimensão do poliedro. Seria que um poliedro é um objeto sólido de dimensão três construído a partir de faces poligonais ou seria que é a parte superficial (de dimensão 2) deste sólido? Neste artigo, chamaremos de poliedro a superfície, isto é, a união das faces poligonais. Porém, note que Euler considerou poliedros como sendo objetos sólidos de dimensão 3 (veja §2.2).

A segunda discussão diz respeito às condições de ligação dos elementos constituintes da parte superficial do poliedro. Neste artigo, usaremos a seguinte definição (veja [Ri], Capítulo 2).

**Definição 1.1.** Um *poliedro*  $P$  é uma figura construída por faces poligonais tal que cada segmento é face comum de exatamente dois polígonos de dimensão 2 e cada vértice é face comum de pelo menos três segmentos.

**Definição 1.2.** Um poliedro em  $\mathbb{R}^3$  é *convexo* se ele satisfaz uma das condições equivalentes:

- Para cada face de dimensão 2, o poliedro está completamente localizado no mesmo semi-espaço delimitado pelo plano que contém a face.
- Considerando um poliedro como sendo de dimensão três, para todos dois pontos dentro no poliedro, o segmento (reto) ligando estes dois pontos é contido completamente no poliedro.
- Considerando um poliedro como sendo de dimensão dois, para todos dois pontos do poliedro, o segmento (reto) ligando estes dois pontos não encontra o poliedro em ademais pontos.

Neste artigo, usaremos a noção de triangulação, a qual pode ser definida a partir da noção de complexo simplicial.

**Definição 1.3.** Um *complexo simplicial* (geométrico) finito  $C$  de dimensão 2 é um conjunto finito de “simplexos”: triângulos (simplexos de dimensão 2), arestas (simplexos de dimensão 1) e vértices (simplexos de dimensão 0), tais que

- (1) cada face de um simplexo é um elemento do complexo simplicial,
- (2) para todo par  $(\sigma_i, \sigma_j)$  de simplexos, a interseção  $\sigma_i \cap \sigma_j$  é seja vazia, seja uma face comum de  $\sigma_i$  e  $\sigma_j$ .

Existem várias maneiras para representar um complexo simplicial em um espaço euclidiano. A mais comum, que é válida para todos complexos simpliciais é a noção de realização geométrica sob a forma de poliedro.

**Exemplo 1.4.** Um exemplo de poliedro é dado pela realização geométrica de um complexo simplicial  $C$ , como sendo o subespaço topológico compacto de  $\mathbb{R}^n$  formado pela coleção de todas as uniões de simplexos de  $C$ . Este poliedro é chamado de *poliedro triangulado* ou seja de *realização geométrica* de  $C$  e é denotado por  $|C|$ .

**Observação 1.5.** É sempre possível construir o poliedro  $|C|$  correspondente a um complexo simplicial  $C$  no espaço euclidiano  $\mathbb{R}^{n_0}$  onde  $n_0$  é o número de vértices de  $C$ .

**Definição 1.6.** Uma *triangulação*  $(C, \varphi)$  de uma superfície  $\mathcal{S}$  é o dado de um complexo simplicial  $C$  e de um homeomorfismo  $\varphi : |C| \rightarrow \mathcal{S}$ .

Assim, na figura 1, temos exemplos de triangulações da esfera  $\mathbb{S}^2$  e do toro.

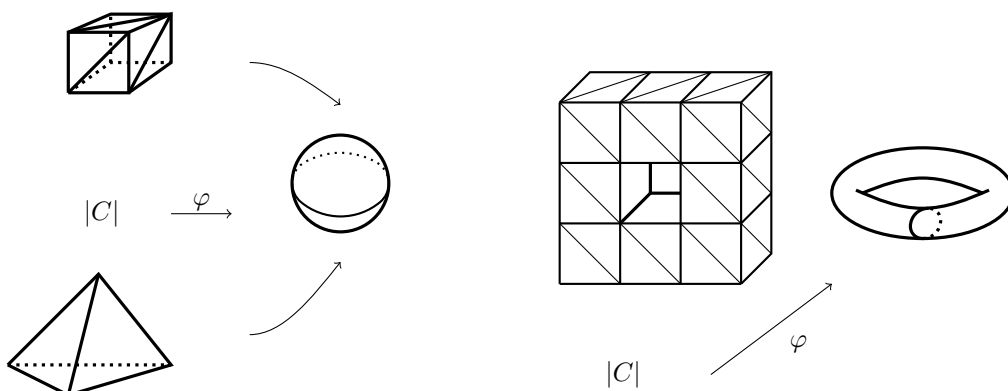


FIGURA 1. Triangulações da esfera e do toro.

Uma maneira conveniente para representar um complexo simplicial de dimensão 2 que fornece uma triangulação de uma superfície (compacta, sem borda) é a representação planar, na qual o complexo simplicial é representado por um polígono.

**Definição 1.7.** Uma *representação planar* de uma superfície (compacta, sem borda)  $\mathcal{S}$  é uma tripla  $(K, K_0, \varphi)$  na qual

- (1)  $K$  é um polígono no espaço euclidiano  $\mathbb{R}^2$ , que é triangulado pela união de simplexos formando um complexo simplicial,
- (2) os simplexos da borda de  $K$  estão nomeados e orientados com identificações. Denotamos por  $K_0$  a borda de  $K$  com as identificações,

- (3)  $\varphi : |K| \rightarrow \mathcal{S}$  é um homeomorfismo da realização geométrica de  $K$  (tomando em conta as identificações dos simplexos na borda  $K_0$ ) em  $\mathcal{S}$ .

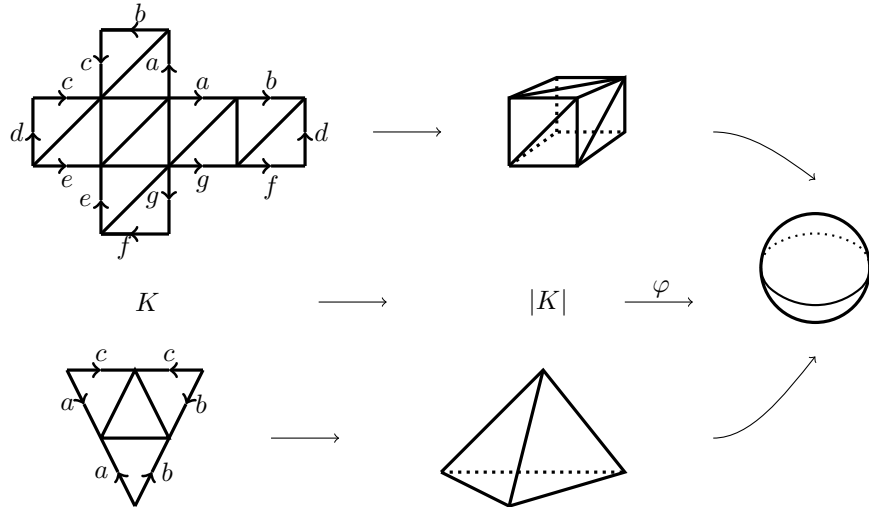


FIGURA 2. Representações planares da esfera. Os simplexos da borda de mesmo nome devem ser identificados, respeitando a orientação.

Providenciamos vários exemplos de poliedros e de representações planares nas figuras 2, 8, 12 e 15.

A partir de agora, poderemos falar de triangulação de uma superfície dada seja por um complexo simplicial  $C$ , seja por um poliedro triangulado  $P$ , seja por uma representação planar  $(K, K_0, \varphi)$  tal que conforme o caso,  $|C|$ ,  $P$  ou  $|K|$  seja homeomorfo a  $\mathcal{S}$ .

**Observação 1.8.** Quando realizamos a figura de uma representação planar de uma superfície, às vezes o desenho pode ter arestas curvilíneas. Neste caso, podemos sempre considerar uma figura homeomorfa com arestas lineares.

**Observação 1.9.** Em uma representação planar de uma superfície, alguns desenhos estão proibidos. Por exemplo, se queremos representar um cone de vértice  $B$  (figura 3, [1]), são proibidos os desenhos [2] e [3] da figura 3: no desenho [2], a aresta  $(A, A)$  representa somente um ponto  $A$ , então obtemos no poliedro somente uma aresta  $(A, B)$ . No desenho [3], as arestas  $(A, C)$  são identificados, assim que as arestas  $(A, B)$ , então obtemos pelo poliedro apenas um triângulo  $ABC$ , que não é um cone como esperado. A representação planar [4] da figura 3 é uma representação correta do cone.

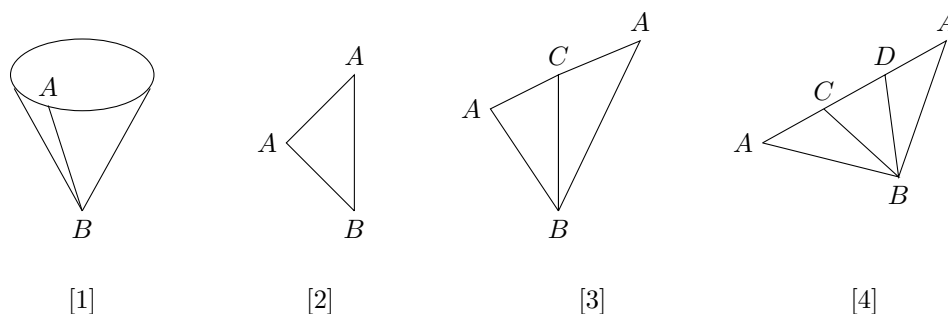


FIGURA 3. Representação planar de um cone. Os desenhos [2] e [3] não são admissíveis para representar o cone. A representação [4] representa o cone [1].

1.2. Superfícies orientáveis e não orientáveis.

1.2.1. *Orientação.* Consideremos um poliedro que é a realização geométrica de um complexo simplicial de dimensão dois no sentido do exemplo 1.4. Os simplexos do poliedro considerado são vértices, arestas e triângulos. Denotamos por  $a_i$  os vértices dos simplexos. Quando definirmos uma ordem pelos vértices de arestas, por exemplo a aresta  $(a_0, a_1)$ , denotaremos os respectivamente por  $[a_0, a_1]$  ou  $[a_1, a_0]$ . Analogamente,  $[a_0, a_1, a_2]$  ou  $[a_1, a_2, a_0]$ , etc. serão os triângulos  $(a_0, a_1, a_2)$  ordenados.

Uma ordem  $[a_0, a_1, a_2]$  dos vértices de um triângulo define uma orientação do triângulo (veja figura 4). Qualquer transposição de dois vértices define a orientação oposta. Por exemplo, a transposição de  $a_1$  e  $a_2$  dá o triângulo  $[a_0, a_2, a_1]$  cuja orientação é oposta da orientação do triângulo  $[a_0, a_1, a_2]$ . Denotamos  $[a_0, a_2, a_1] = -[a_0, a_1, a_2]$  (veja figura 4). Uma segunda transposição (por exemplo  $[a_2, a_0, a_1]$ ) dá a volta da orientação original.

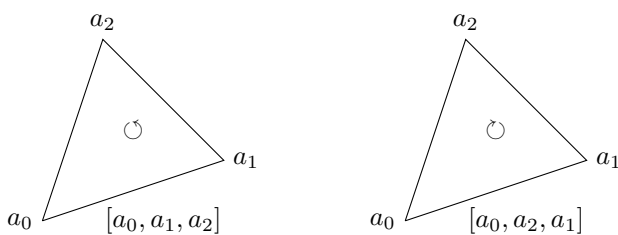


FIGURA 4. Orientações opostas do triângulo.

Assim, podemos definir uma relação de equivalência sobre ordens. Duas ordens são equivalentes se, e somente se, podemos passar de uma à outra por um número par de transposições. Podemos dar a definição da orientação.

**Definição 1.10.** Uma *orientação* de um simplexo é uma classe de equivalência de ordens pela relação acima.

1.2.2. *Orientação das faces.* Seja  $\sigma = [a_0, a_1, a_2]$  um triângulo orientado (pela ordem dada). Uma face  $\tau_i$  de dimensão 1 se escreve  $(a_j, a_k)$  tirando um vértice  $a_i$ . A orientação de  $\sigma$  induz uma orientação de cada

tal face  $(a_j, a_k)$ , chamada de *orientação induzida*, como sendo  $(-1)^i [a_j, a_k]$ . Assim a borda orientada de  $\sigma = [a_0, a_1, a_2]$  pode se escrever

$$[\hat{a}_0, a_1, a_2] - [a_0, \hat{a}_1, a_2] + [a_0, a_1, \hat{a}_2] = [a_1, a_2] - [a_0, a_2] + [a_0, a_1]$$

onde,  $\hat{a}_i$  significa que  $a_i$  não é presente em  $[a_0, a_1, a_2]$ , para  $i = 0, 1, 2$ . É fácil de verificar que esta noção é bem definida (independente de um número par de permutações dos vértices de  $\sigma$ ). A noção de orientação induzida coincide com a noção intuitiva de orientação da borda (veja figura 5).

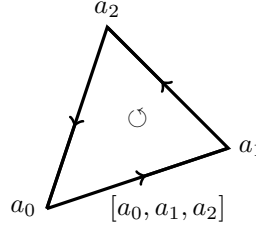


FIGURA 5. Orientações das faces do triângulo.

1.2.3. *Orientação compatível.* Sejam  $\sigma = (a_0, a_1, a_2)$  e  $\sigma' = (b_0, a_1, a_2)$  dois triângulos com uma face comum  $(a_1, a_2)$  (figura 6).

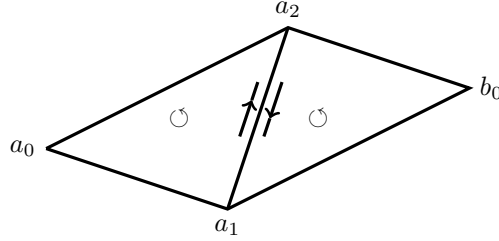


FIGURA 6. Orientações compatíveis.

Toda orientação de  $\sigma$ , por exemplo  $[a_0, a_1, a_2]$ , define uma orientação sobre  $\sigma'$ , que chamaremos de *orientação compatível*, tal que a face comum  $(a_1, a_2)$  têm orientações opostas como faces de  $\sigma$  e  $\sigma'$ .

Esta definição corresponde à noção intuitiva da compatibilidade de orientações.

1.2.4. *Orientação de poliedros.* Seja  $P$  um poliedro triangulado compacto, conexo de dimensão 2. Sejam  $\sigma$  e  $\sigma'$  dois simplexes de dimensão 2, podemos escolher cadeias de 2-simplexes

$$\sigma = \sigma_0, \sigma_1, \dots, \sigma_i, \sigma_{i+1}, \dots, \sigma_k = \sigma'$$

tais que para todo  $i = 0, \dots, k-1$ , os dois simplexes  $\sigma_i$  e  $\sigma_{i+1}$  têm uma face comum de dimensão 1 (veja figura 7).

Escolhendo uma orientação de  $\sigma$  e uma cadeia de  $\sigma$  a  $\sigma'$ , obtemos uma orientação de  $\sigma'$ , sendo que os dois simplexes  $\sigma_i$  e  $\sigma_{i+1}$  têm orientações compatíveis para todo  $i = 0, \dots, k-1$ .

A orientação obtida pelo triângulo  $\sigma'$  é chamada de *orientação induzida sobre  $\sigma'$*  a partir da orientação de  $\sigma$  ao longo da cadeia de 2-simplexes.

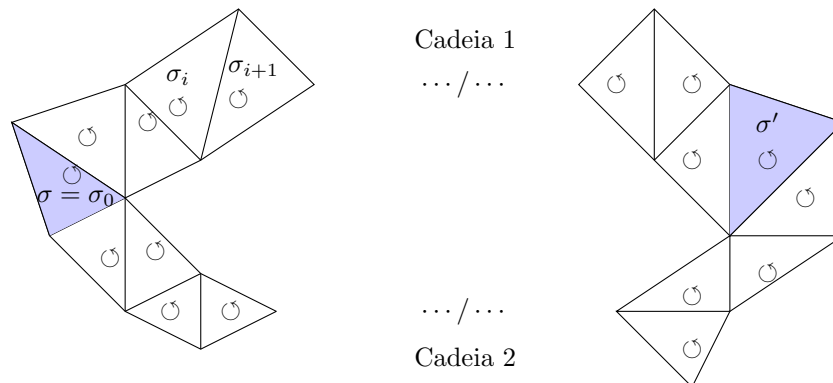


FIGURA 7. Cadeias de simplexos.

**Definição 1.11.** Um poliedro compacto, conexo  $K$  de dimensão 2 é dito *orientável* se para todo par de triângulos  $(\sigma, \sigma')$ , a orientação induzida sobre  $\sigma'$  a partir da orientação de  $\sigma$  não depende da cadeia de simplexos escolhida ligando  $\sigma$  a  $\sigma'$ .

Na figura 7, obtemos a mesma orientação induzida sobre  $\sigma'$ , seja pela cadeia 1, seja na cadeia 2.

1.2.5. *Superfícies orientáveis (Gênero e representação planar).* Uma superfície triangulada por um poliedro  $P$  é orientável se, e somente se, o poliedro  $P$  é orientável.

Toda superfície orientável é homeomorfa seja à esfera  $\mathbb{S}^2$ , seja ao toro  $\mathbb{T}$  (figura 8), seja ao “toro de gênero  $g$ ” (figura 10) [ST].

O *gênero  $g$*  de uma superfície (orientável ou não) é o número máximo de curvas fechadas (homeomorfas a circunferências) disjuntas que se pode remover da superfície sem a desconectar. Por exemplo, o gênero da esfera  $\mathbb{S}$  é 0, já que qualquer circunferência removida da esfera a desconecta. O gênero do toro  $\mathbb{T}$  é 1, uma vez que é possível remover uma circunferência no toro sem o desconectar. No entanto, se removermos uma segunda circunferência qualquer, disjunta da primeira, o toro será desconectado (veja figura 9).

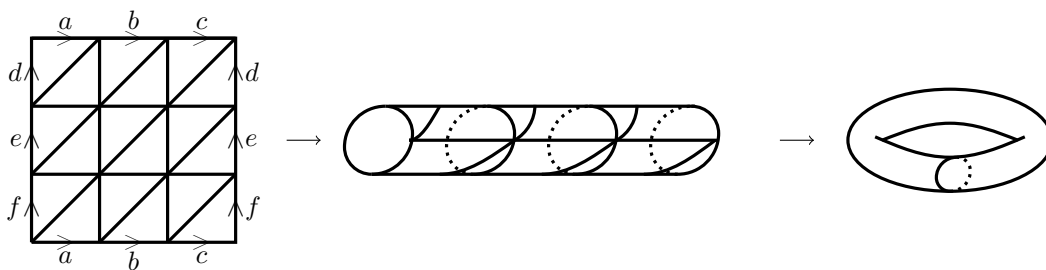


FIGURA 8. Uma representação planar do toro

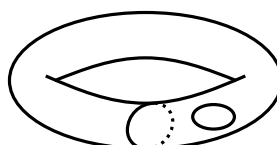


FIGURA 9. O toro é de gênero 1

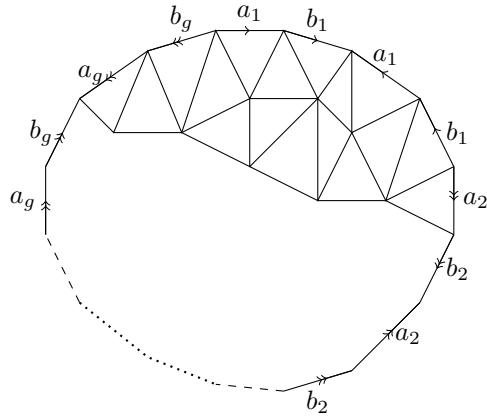


FIGURA 10. Uma representação planar do toro de gênero  $g$ . De fato, a figura deve ser subdividida como na observação 1.9. Cada aresta  $a_i$  e  $b_i$  sendo dividida em pelo menos três arestas, o que não fizemos aqui para ter uma figura mais leve.

O toro de gênero  $g$  é a soma conexa de um toro de gênero  $g - 1$  e do toro.

Uma superfície compacta sem borda é orientável se, e somente se, ela pode ser mergulhada em  $\mathbb{R}^3$  (veja por exemplo [BW]).

1.2.6. *Superfícies não orientáveis (Gênero e representação planar)*. Duas superfícies não orientáveis (sem borda) bem conhecidas são o plano projetivo  $\mathbb{P}^2$  e a garrafa de Klein.

O plano projetivo  $\mathbb{P}^2$  é o conjunto de todas as retas do espaço euclidiano  $\mathbb{R}^3$  passando pela origem. Uma maneira fácil para representar o espaço projetivo é considerar em  $\mathbb{R}^3$  a esfera  $\mathbb{S}^2$  de raio 1 centrada na origem. Consideramos três partes da esfera  $\mathbb{S}^2$ : as semiesferas (abertas) norte e sul e o equador (veja figura 11).

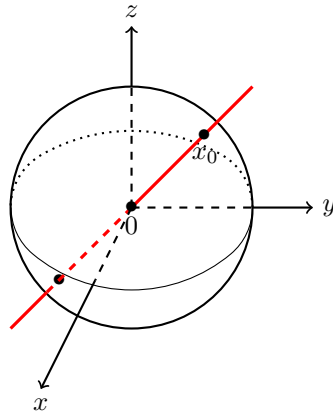


FIGURA 11. Representação do plano projetivo  $\mathbb{P}^2$ .

Cada reta de  $\mathbb{R}^3$  passando pela origem que não está no plano  $0xy$  encontra a semiesfera norte em um ponto  $x_0$ . Este ponto é um representante da reta.



As retas contidas no plano  $0xy$  encontram o equador em dois pontos diametralmente opostos, que temos que identificar para ter somente um representante.

Assim obtemos uma representação do espaço projetivo  $\mathbb{P}^2$ , como sendo a semiesfera norte com identificação de pontos diametralmente opostos em sua borda. Outra maneira é considerar a representação planar da figura 12 que é, obviamente uma representação equivalente de  $\mathbb{P}^2$ .

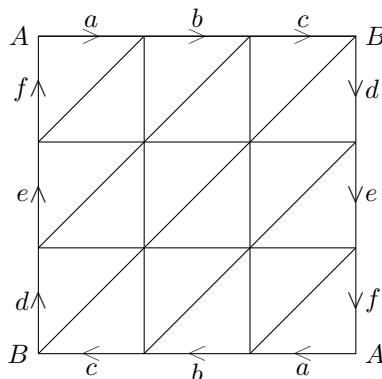


FIGURA 12. Uma representação planar do plano projetivo  $\mathbb{P}^2$ .

O gênero de  $\mathbb{P}^2$  vale 1.

A figura 13 ilustra o fato de  $\mathbb{P}^2$  não ser orientável e a figura 14 ilustra o gênero 1 do plano projetivo.

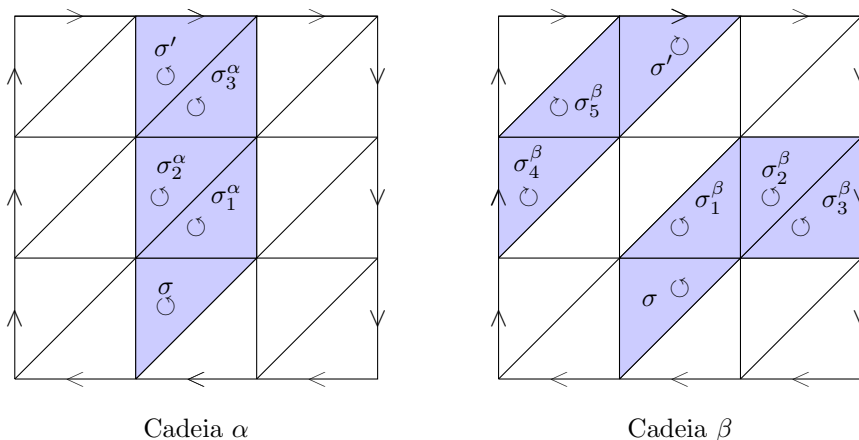


FIGURA 13. O plano projetivo  $\mathbb{P}^2$  não é orientável. Indo de  $\sigma$  até  $\sigma'$  por duas cadeias diferentes: cadeia de 2-simplexos  $\alpha : (\sigma = \sigma_0^\alpha, \sigma_1^\alpha, \sigma_2^\alpha, \sigma_3^\alpha, \sigma_4^\alpha = \sigma')$ , e a cadeia de 2-simplexos  $\beta : (\sigma = \sigma_0^\beta, \sigma_1^\beta, \dots, \sigma_5^\beta, \sigma_6^\beta = \sigma')$  fornece orientações diferentes de  $\sigma'$ .

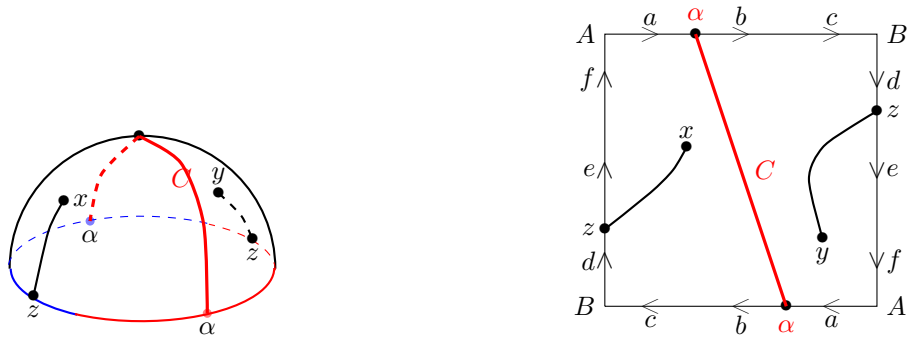


FIGURA 14. O plano projetivo  $\mathbb{P}^2$  é de gênero 1. A curva  $C$  não desconecta o plano projetivo. Os pontos  $x$  e  $y$  estão na mesma componente conexa. Qualquer curva suplementar fechada (homeomorfa a uma circunferência), disjunta de  $C$  desconecta o plano projetivo.

A garrafa de Klein  $G$  é a união de duas fitas de Möbius ao longo de sua borda comum. Observamos que a garrafa de Klein é a soma conexa de dois planos projetivos, uma vez que o plano projetivo tirado um círculo aberto é homeomorfo a uma fita de Möbius. A garrafa de Klein não é orientável.

No espaço euclidiano  $\mathbb{R}^3$ , não é possível representar a garrafa de Klein sem “autointerseção” (figura 15).

A garrafa de Klein tem gênero 2 e a figura 16 ilustra este fato.

Uma superfície não orientável de gênero  $g$  é homeomorfa à soma conexa de  $g$  planos projetivos  $\mathbb{P}^2$ .

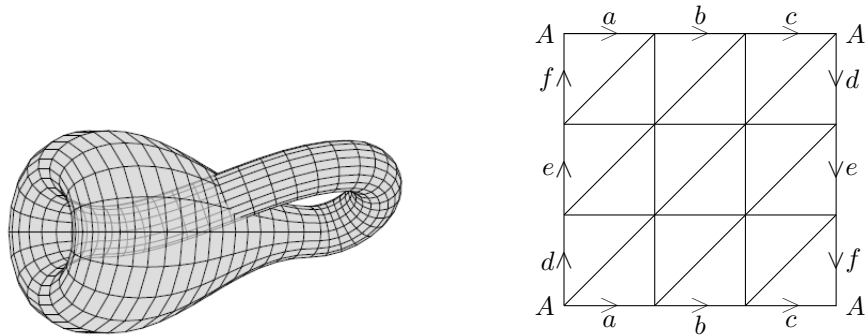


FIGURA 15. A garrafa de Klein e a representação planar da garrafa de Klein.

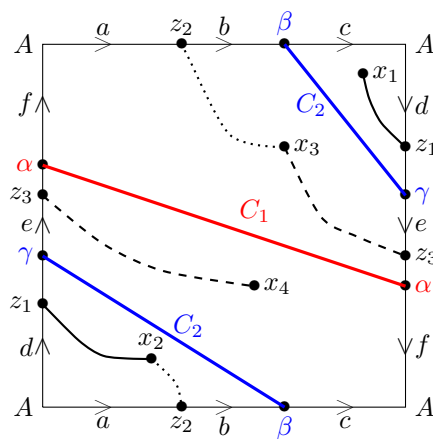


FIGURA 16. A garrafa de Klein é de gênero 2. As curvas  $C_1$  e  $C_2$  não desconectam a garrafa de Klein. Os pontos  $x_1, x_2, x_3$  e  $x_4$  estão na mesma componente conexa. Qualquer curva suplementar fechada (homeomorfa a uma circunferência), disjunta de  $C_1$  e  $C_2$  desconecta a garrafa de Klein.

## 2. HISTÓRIA

2.1. **Antes de Cauchy.** O nome de “fórmula de Euler” vem do anúncio de Leonhard Euler em 14 de Novembro de 1750 em uma carta a um amigo, Goldbach do seguinte resultado.

**Teorema 2.1.** Seja  $P$  um poliedro convexo, com números  $n_0$  de vértices,  $n_1$  de arestas e  $n_2$  de polígonos, então temos

$$(2) \quad n_0 - n_1 + n_2 = 2.$$

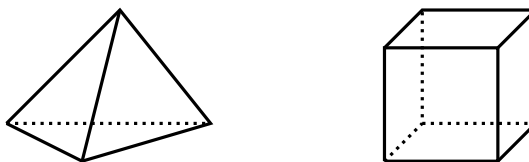


FIGURA 17. A fórmula de Euler pelo tetraedro e pelo cubo.

Na figura 17, temos dois exemplos de poliedros convexos, nos quais se pode verificar a relação (2). Pelo tetraedro, temos

$$n_0 - n_1 + n_2 = 4 - 6 + 4 = 2,$$

pelo cubo temos

$$n_0 - n_1 + n_2 = 8 - 12 + 6 = 2.$$

A lenda (seria verdadeira?), providenciada em [Cel], diz o seguinte: foi um pouco por acaso que Euler descobriu a existência de uma relação que liga os números de faces, vértices e arestas em poliedros convexos (veja [Cel]). Euler procurava classificações para poliedros convexos e pensou em classificá-los de acordo com o número de faces. Posteriormente, para distinguir os poliedros convexos com o mesmo número de

faces, ele primeiro propôs organizá-los em poliedros do “tipo prisma”, do “tipo pirâmide” e associar todos os outros em uma terceira categoria. Os poliedros de quatro faces eram todos do “tipo pirâmide”. Os poliedros com cinco faces foram divididos nos tipos “prismas” e “pirâmides”. A partir de seis faces, as classificações revelaram os três tipos de categorias: “prismas”, “pirâmides” e outros.

Acreditando que os poliedros da terceira categoria não eram realmente todos iguais, ele buscou um segundo critério para classificar os poliedros com o mesmo número de faces. Tendo observado rapidamente que os poliedros com o mesmo número de faces nem todos tinham o mesmo número de vértices, ele sugeriu distingui-los pelo número de vértices.

Ele obteve como novas classes: Hexaedro (poliedro de 6 faces) com 5,6,7 ou 8 vértices, Heptaedro (poliedro de 7 faces) com 6 ate 10 vértices, Octaedro (poliedro de 8 faces) com 6 ate 12 vértices.

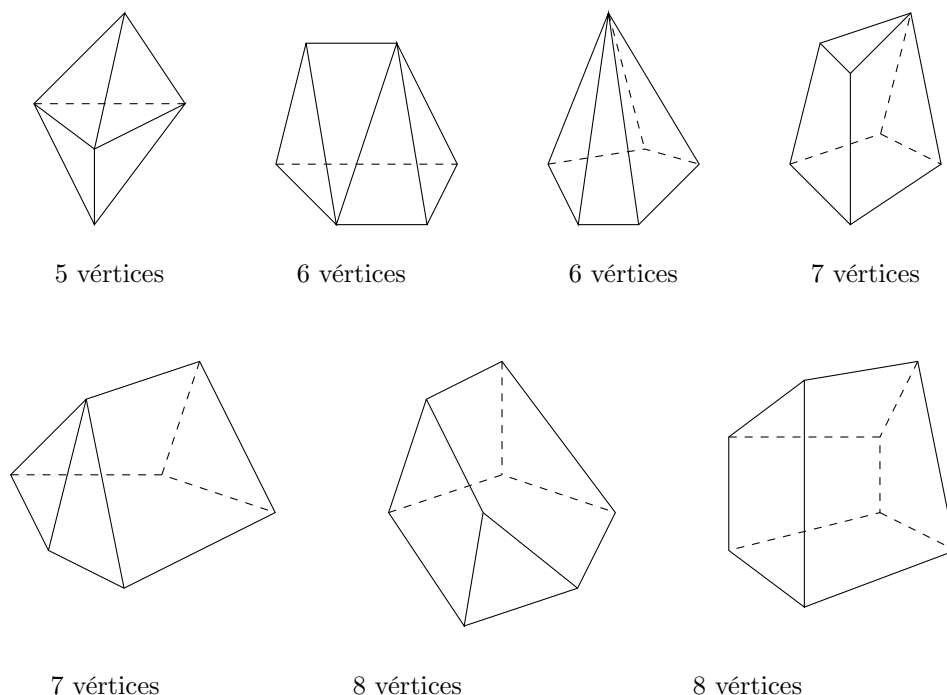


FIGURA 18. Hexaedros (6 faces) com 5,6,7 e 8 vértices

Para essas novas classificações, Euler também descobriu que alguns poliedros que tinham o mesmo número de faces e o mesmo número de vértices não eram semelhantes. Por exemplo, estes são poliedros com 6, 7 ou 8 vértices para hexaedros (figura 18). Naturalmente, Euler pensou no número de arestas como um terceiro critério para separar poliedros com o mesmo número de faces e o mesmo número de vértices.

Para poliedros com seis faces e oito vértices, ele ficou surpreso ao perceber que o número de arestas era o mesmo (seis faces, oito vértices e doze arestas).

Sendo incapaz de distingui-los e de acreditar em uma anomalia das seis faces, ele imaginou usar o critério “arestas” para subclassificar os poliedros com sete faces e dez vértices. Novamente, a mesma característica apareceu. Todos tinham o mesmo número de arestas (sete faces, dez vértices, quinze arestas). Observando que era o mesmo para as outras famílias com o mesmo número de faces e vértices, ele

conjeturou a existência de uma relação que liga o número de faces, o número de vértices e o número de arestas. – Fim da lenda.

Temos duas perguntas. Seria que Euler era o primeiro a enunciar a fórmula? Quem providenciou a primeira prova da fórmula? De fato, há várias perguntas e polêmicas sobre a fórmula de Euler.

Vamos à primeira pergunta: *Quem foi o primeiro a expressar a fórmula?*

Alguns autores (veja [Eve], §3.12; [Lie], p. 90) dizem que é possível que Arquimedes ( $\sim 287$  AC,  $\sim 212$  AC) já conhecia a fórmula. O que se sabe é que Pitágoras ( $\sim 580$  AC,  $\sim 495$  AC) já conheceu a fórmula. Platão ( $\sim 428$  AC,  $\sim 348$  AC) explicou a harmonia do mundo pela existência dos cinco poliedros regulares convexos: tetraedro, cubo, octaedro, dodecaedro e icosaedro.

Alguns autores dizem que a fórmula já era conhecida por Descartes (1596 – 1650). De fato, Descartes, no manuscrito “*De solidorum elementis*” [De], tinha enunciado uma fórmula próxima que se mostra no seguinte teorema.

**Teorema 2.2.** Se tomarmos o ângulo reto como a unidade, então a soma dos ângulos de todas as faces de um poliedro convexo será igual a quatro vezes do número de vértices ( $n_0$ ) menos 2, isto é,  $4(n_0 - 2)$ .

**Justificativa do fato “a fórmula (2) é equivalente ao teorema 2.2”.** Por um lado, o teorema de Descartes diz que a soma dos ângulos de todas as faces vale  $2(n_0 - 2)\pi$ .

Por outro lado, denotamos por  $i = 1, \dots, n_2$  as faces do poliedro convexo. Para cada face  $i$ , o número dos vértices, que também é o número das arestas da face, será denotado por  $k_i$ . Usamos, para cada face, a seguinte propriedade de polígonos convexos. Em um polígono convexo com  $k_i$  lados, a soma dos ângulos vale  $(k_i - 2)\pi$ . Então a soma de todos os ângulos de todas as faces do poliedro vale  $\sum_{i=1}^{n_2} (k_i - 2)\pi$ , ou seja  $(2n_1 - 2n_2)\pi$ , observando que  $\sum_{i=1}^{n_2} k_i = 2n_1$ , uma vez que cada aresta do poliedro aparece em duas faces do poliedro. Assim, obtemos a fórmula (2).  $\square$

Descartes não publicou o manuscrito no tempo dele. A versão original do manuscrito desapareceu, mas uma cópia foi redescoberta em 1860 com papeis deixados por Leibnitz (1646-1716). Esta cópia sofreu complicados contratempos, em particular uma imersão no rio Seine em Paris (veja [Fo], [dJ1]). Alguns autores dizem que Descartes descobriu a fórmula (2) como uma aplicação de seu teorema 2.2. Por esta razão, às vezes a fórmula (2) é chamada de “*fórmula de Descartes-Euler*”. Outros autores, por exemplo, Malkevich [Mal1], afirmou que “*Though Descartes did discover facts about 3-dimensional polyhedra that would have enabled him to deduce Euler’s formula, he did not take this extra step. With hindsight it is often difficult to see how a talented mathematician of an earlier era did not make a step forward that with today’s insights seems natural, however, it often happens.*” Mas sabendo que alguns documentos de Descartes desapareceram, ninguém pode decidir se Descartes conheceu ou não a fórmula. Então, a resposta para a primeira pergunta tem sido desconhecida até hoje em dia.

Discutimos agora a segunda pergunta: *Quem foi o primeiro que providenciou uma prova correta da fórmula (2) ?*

**2.2. A “prova” de Euler.** Dois anos depois de ter escrito a fórmula, Euler publicou uma prova [Eu2, Eu3], que consiste em eliminar um de cada vez cada vértice do poliedro, removendo a pirâmide da qual é o vértice. A cada etapa, a soma  $n_0 - n_1 + n_2$  fica inalterada.

Aqui damos o exemplo do cubo, copiado do livro de Richeson [Ri]. Na figura 19 (b), se elimina o vértice  $A$  assim como a pirâmide (em branco) da qual  $A$  é o vértice. Na figura 19 (c), temos o mesmo

processo para eliminar o vértice  $B$ , e assim por diante, até chegar a um tetraedro. Para o tetraedro temos  $n_0 - n_1 + n_2 = 2$ , então obtemos a fórmula.

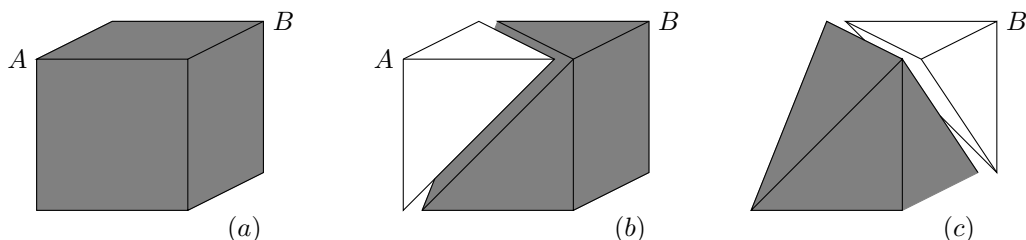


FIGURA 19. A prova de Euler. Eliminação sucessiva de um vértice assim como da pirâmide da qual ele é o vértice.

A prova de Euler está bem reproduzida por exemplo em [Leb] e [Ri]. Mas esta prova não foi correta. No seu livro [Ri], Richeson providencia uma descrição clara dos problemas na prova. Ele escreve que estes problemas foram resolvidos por Samelson e por Francese e Richardson ([Sam, FR]).

A primeira prova correta da fórmula (2) foi dada por Legendre [Leg] na primeira edição de seu livro de *Éléments de Géométrie* (1794) (veja por exemplo [Leb] ou [Ri] Capítulo 10 para uma apresentação da prova de Legendre). O argumento de Legendre era geométrico, da mesma maneira da prova de Descartes do teorema 2.2. A única diferença entre o raciocínio de Descartes e de Legendre é que Descartes raciocinou sobre a representação esférica do poliedro (poliedro polar), enquanto Legendre raciocinou sobre o poliedro mesmo. A passagem do poliedro  $K$  (Legendre) ao poliedro polar de  $K$  (Descartes) faz uma permutação de  $n_0$  e  $n_2$ , sem modificar  $n_1$ . Por esta razão, alguns autores dizem que a prova da fórmula (2) deveria ser chamada de “Descartes-Legendre”.

**2.3. Época de Cauchy. Método de Cauchy - A primeira prova combinatória e topológica.** Em fevereiro de 1811, aos 22 anos de idade, Cauchy, que já era engenheiro *des Ponts et Chaussées*, ministrou uma palestra intitulada *Recherches sur les polyèdres* na *École Polytechnique*, em Paris. Esta palestra foi publicada em 1813 no *Journal de l'École Polytechnique* [Ca1]. Cauchy publicou uma prova combinatória e topológica da fórmula de Euler (2). A bonita prova de Cauchy é reproduzida em vários livros (veja, em particular, [Ri], Capítulo 12 para uma apresentação com comentários).

*Demonstração.* A primeira etapa na prova de Cauchy é da representação planar. Parece que Cauchy foi o primeiro a usar esta ideia.

Sendo um poliedro convexo  $P$  homeomorfa à esfera, escolhemos uma face  $\mathcal{F}$  de dimensão 2 do poliedro. Removemos esta face e construímos a representação planar  $K$  associada à face escolhida. Lakatos [Lak] explica a construção da seguinte maneira. Coloque uma câmera acima da face removida. A representação planar aparecerá na fotografia. Note que esta ideia de representação planar é parecida da projeção estereográfica (veja seção 4.1).

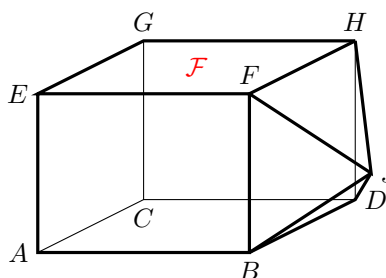


FIGURA 20. O poliedro P

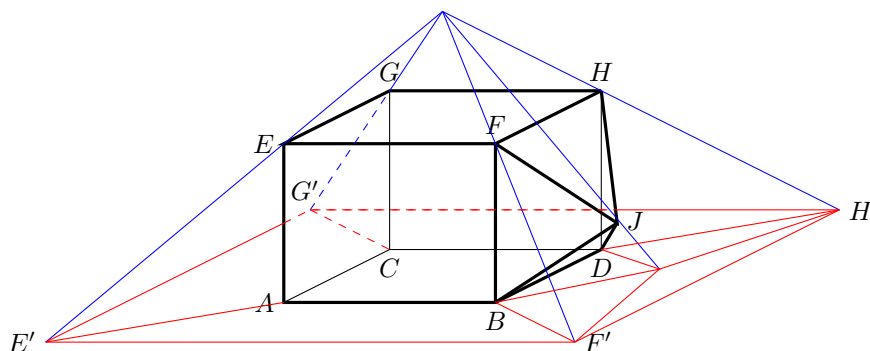


FIGURA 21. Representação planar seguido Cauchy

O buraco  $\mathcal{B}$  formado pela retirada da face  $\mathcal{F}$  aparece ao redor da representação planar (veja figura 22, onde o buraco esta em azul).

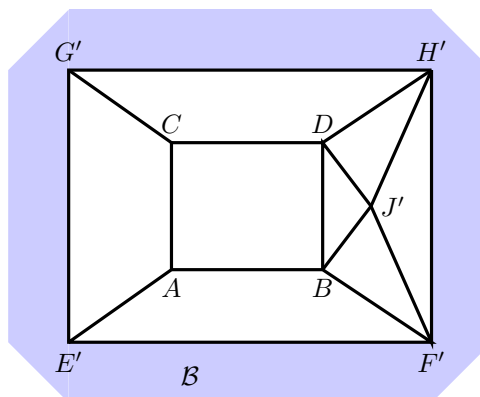
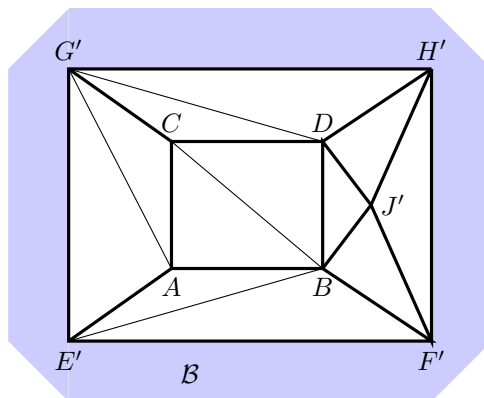


FIGURA 22. O polígono K, resultado do processo de representação planar.

Como já tiramos a face  $\mathcal{F}$  que é um polígono (aberto), então já temos 1 na conta da soma de  $n_0 - n_1 + n_2$ . A etapa seguinte, na prova de Cauchy é definir uma triangulação de K pela subdivisão de todos os polígonos. Note que, depois ter triangulado, a soma alterada  $n_0 - n_1 + n_2$  não muda.

FIGURA 23. Triangulação de  $K$ .

Posteriormente, estenderemos o buraco cuidando de manter a borda tal que ela é homeomorfa a uma circunferência. Assim, o estendimento consiste em duas operações que descreveremos a seguir.

A borda de  $\mathcal{B}$  está constituída de arestas com a seguinte propriedade. Cada aresta é uma face de um triângulo que tem somente esta aresta como face comum com o buraco  $\mathcal{B}$ . Por exemplo, na figura 24, temos dois exemplos de um triângulo  $\sigma$  que tem a aresta  $\tau$  como face comum com o buraco  $\mathcal{B}$ .

A “operação I” consiste em tirar do poliedro  $K$  tal triângulo  $\sigma$  juntamente com a aresta  $\tau$  correspondente e assim o buraco se estende.

Observamos que a “operação I” não muda a soma  $n_0 - n_1 + n_2$ , pois  $n_0$  não muda enquanto  $n_1$  e  $n_2$  diminuem de 1, então  $n_0 - n_1 + n_2$  mante-se igual.

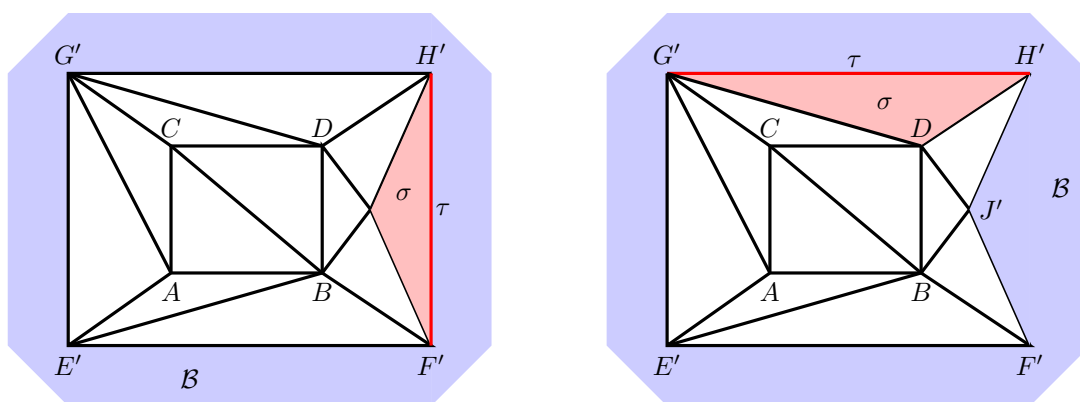


FIGURA 24. A “operação I”.

Quando aparecer a situação da figura 25, onde um triângulo (aqui  $\sigma$ ) tem duas arestas comuns  $\tau_1$  e  $\tau_2$  com o buraco, realizaremos a “operação II” consistindo em tirar do poliedro  $K$  tal triângulo  $\sigma$  junto com as duas arestas  $\tau_1$  e  $\tau_2$  e com o vértice  $H'$  que é o vértice comum de  $\tau_1$  e  $\tau_2$ . Assim, o buraco se estende.



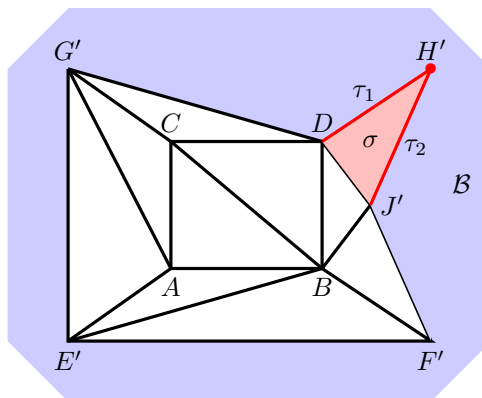


FIGURA 25. A “operação II”.

Observamos que a “operação II” também não muda a soma  $n_0 - n_1 + n_2$ , já que ela diminui  $n_0$  e  $n_2$  de 1 e diminui  $n_1$  de 2, então a soma  $n_0 - n_1 + n_2$  é preservada.

Usando as duas operações acima, o buraco se estende até ficar com um triângulo só. Neste triângulo temos  $n_0 - n_1 + n_2 = 3 - 3 + 1 = 1$ . Relembrando que tiramos um triângulo no início, que dava já  $+1$  na soma  $n_0 - n_1 + n_2$ , portanto, para qualquer poliedro convexo, temos  $n_0 - n_1 + n_2 = +2$ .  $\square$

**2.4. Depois Cauchy.** Alguns autores, em particular Lakatos [Lak], criticam a prova de Cauchy. No seu livro, (veja [Lak], páginas 11 e 12), Lakatos providencia um contra-exemplo ao método de Cauchy. Aqui vamos adaptar o contra-exemplo de Lakatos no contexto de nosso exemplo anterior (figuras 20 e 23).

Note que, neste contexto, Lakatos usa uma ordem de remoção dos triângulos indicado na figura 26.

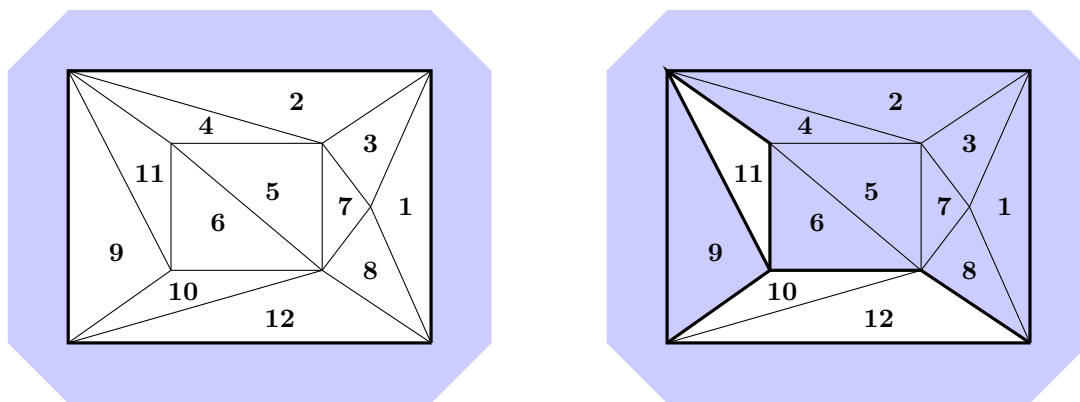


FIGURA 26. Ordem de remoção seguido Lakatos

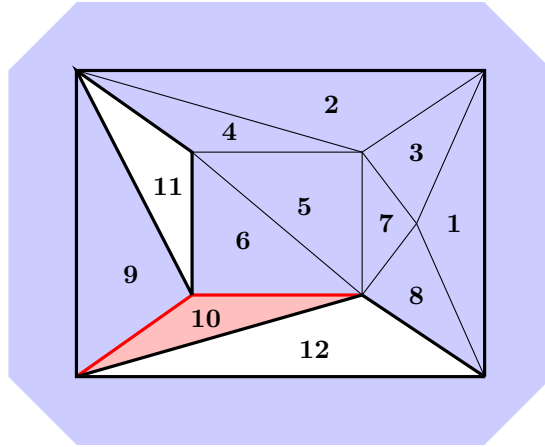


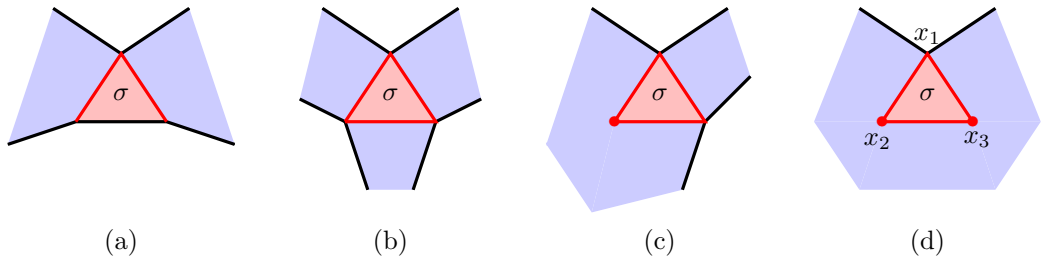
FIGURA 27. Onde a prova de Cauchy não funciona

Estendemos o buraco, removendo triângulos na ordem indicada nesta figura, usando as operações de Cauchy I e II até o triângulo do número 9. A borda do buraco não é mais uma curva homeomorfa a uma circunferência. Se removemos o triângulo do número 10, observamos que tiramos duas arestas e um triângulo, então a soma  $n_0 - n_1 + n_2$  não é preservada. Além disso, neste caso, o buraco desconecta o resto da figura. Os triângulos dos números 11 e 12 não estão mais conectados.

Assim, é preciso de cuidar da ordem de retirada dos triângulos porque pode acontecer situações tais que o buraco desconecta o poliedro  $K$ . Além disso, a borda do buraco não é mais uma curva homeomorfa a uma circunferência, ela tem um ponto múltiplo.

No artigo [Li2], Lima formaliza os argumentos de Lakatos e explicita situações das figuras 28. Nas figuras (a), (b) e (c), a extensão do buraco, retirando do poliedro  $K$  o triângulo  $\sigma$ , por um lado muda a soma  $n_0 - n_1 + n_2$  e por outro lado desconecta o poliedro  $K$ . O exemplo de Lakatos corresponde a situação (a) na figura de Elon Lima. Nos exemplos de Elon Lima, a borda do buraco  $\mathcal{B}$  é uma curva com pontos múltiplos.

Observamos que na figura (d), que também é um caso tendo ponto múltiplo, porém a soma  $n_0 - n_1 + n_2$  está preservada quando retiramos de  $K$  o triângulo  $\sigma$ , porque tiramos dois vértices  $x_2$  e  $x_3$ , três arestas  $(x_1, x_2)$ ,  $(x_2, x_3)$ ,  $(x_1, x_3)$  e o triângulo  $\sigma$ . Parece que Elon Lima não percebeu que este caso também é admissível. Então a situação da figura (d) pode ser usado no processo de Cauchy. Com efeito, realizaremos uma operação adicional que definimos como “operação III” e que pode ser usada de maneira alternativa na Etapa 5 da prova do teorema 3.1 (veja observação 3.7). Esta operação é usada também em [Cel].

FIGURA 28. Os contra-exemplos de E. Lima. O buraco  $\mathcal{B}$  está em azul, o triângulo  $\sigma$  a ser removido está em cor de rosa e os demais simplexos a ser removidos estão em vermelho.

A conclusão de Lima ([Li2], página 73) é que a *justificação do método de Cauchy (seção 2.3) depende de um “resultado profundo da Topologia, equivalente à demonstração da invariância dos grupos de homologia da esfera  $\mathbb{S}^2$ .”* Neste artigo, na prova que providenciaremos na seção 3, mostramos que o método de Cauchy (seção 2.3) vale sem usar resultados mais profundos e somente usando sub-triangulações adequadas.

Note que usando a operação III, o contra-exemplo de Lakatos não é mais um contra-exemplo: voltando na figura 26, depois de remover o triângulo do número 9, podemos remover o triângulo do número 12 pela operação II e depois remover o triângulo do número 10 pela operação III. Fica somente o triângulo do número 11 para qual temos  $n_0 - n_1 + n_2 = +1$ , o que dá o resultado!

Alguns autores sugerem uma estratégia para definir uma ordem de remoção dos triângulos que permite de usar o método de Cauchy para chegar ao resultado. Por exemplo, Kirk [Kirk] sugere a seguinte estratégia: *“There are two important rules to follow when doing this. Firstly, we must always perform [Operação II] when it is possible to do so; if there is a choice between [Operação I] and [Operação II] we must always choose [Operação II]. If we do not, the network may break up into separate pieces. Secondly, we must only remove faces one at a time.”* Providenciamos, na figura 29, um exemplo cujo processo segue as regras da estratégia definida por Kirk mas o processo chega a desconectar o poliedro. Então estas regras não estão suficientes. É fácil construir um exemplo mostrando também que elas não estão necessárias.

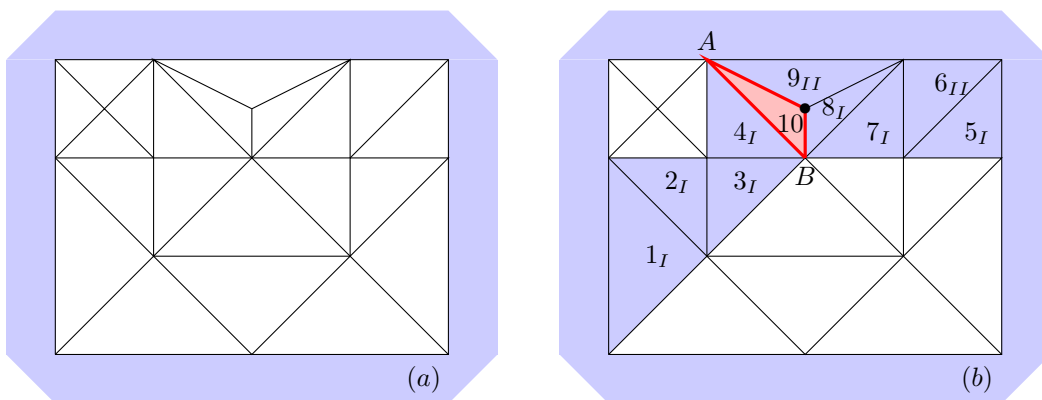


FIGURA 29. Um contra-exemplo à “regra” dada por Kirk.

Na figura 29, os triângulos estão removidos na ordem dos números. O índice I ou II em baixo de cada número significa que este triângulo está removido com a operação I ou II correspondente. Aqui, chegando ao número 8, a borda do buraco não é mais homeomorfa a uma circunferência.

O exemplo da figura 29 é também um contra-exemplo mostrando que, mesmo com a operação III, o processo de Cauchy não vale com a ordem de remoção escolhida. De fato, depois de remover o triângulo do número 7, podemos continuar até o triângulo do número 10. Mas não podemos remover este triângulo porque, neste caso, removemos um vértice, três arestas e um triângulo. A soma alterada correspondente é  $n_0 - n_1 + n_2 = 1 - 3 + 1 = -1$ . Note que os vértices  $A$  e  $B$  não pertencem ao buraco.

A nosso conhecimento, nenhum autor deu uma estratégia adaptada de remoção dos triângulos que permite usar somente o método de Cauchy e ferramentas conhecidas na época de Cauchy.

Depois de Cauchy, vários autores propuseram outras provas da fórmula (2), usando argumentos originais. Veja o site de David Eppstein [Epp] que contém 20 provas diferentes, usando ferramentas que aparecem somente depois da época de Cauchy. Em particular, algumas provas usam o Lema de Jordan

(Jordan [Jo], 1866). De fato, veremos que as curvas de Jordan aparecem na prova de nosso Teorema 3.1 como um artefato.

A conclusão é que a resposta para a segunda pergunta também não é clara. O que é claro é que todos os quatro matemáticos Descartes, Euler, Legendre e Cauchy jogaram um papel importante na descoberta e/ou na prova da fórmula. Embora disso, nenhum deles percebeu a importância da fórmula. Depois da contribuição que vimos, todos os quatro deixaram este assunto e não voltaram a trabalhar nele.

**2.5. Generalizações da fórmula (2).** A fórmula (2) foi estendida primeiramente por Lhuillier, para superfícies orientáveis de gênero  $g$ , como sendo:

$$n_0 - n_1 + n_2 = 2 - 2g.$$

No caso de superfícies não orientáveis, a fórmula é dada (veja [Mas]) por

$$n_0 - n_1 + n_2 = 2 - g.$$

O resultado geral foi providenciado por Poincaré [Po2, Po3] que mostra que, para qualquer triangulação de um poliedro  $X$  de dimensão  $k$ , chamando de  $n_i$  o número de simplexes de dimensão  $i$ , a soma

$$(3) \quad \chi(X) = \sum_{i=0}^k (-1)^i n_i$$

não depende da triangulação de  $X$ . Esta soma é chamada de característica de Euler-Poincaré de  $X$ .

Assim, a característica de Euler-Poincaré do toro  $\mathbb{T}$  vale 0 (o toro é de gênero 2). A característica de Euler-Poincaré do plano projetivo  $\mathbb{P}^2$  vale +1, da garrafa de Klein vale 0. Observe-se que a característica de Euler-Poincaré do toro pinçado (veja §4.5), que é uma superfície singular, vale +1.

### 3. O MÉTODO DE CAUCHY NA DEMONSTRAÇÃO DA FÓRMULA DE EULER

As representações planares das superfícies que vimos: a esfera (figura 2), o toro (figura 8), o plano projetivo (figura 12) e a garrafa de Klein (figura 15) são exemplos da seguinte situação: Um polígono triangulado  $K$  homeomorfo a um disco  $D$ , tal que temos, eventualmente, identificações de simplexes na borda de  $K$  (veja Definição 1.7). Nesta seção, mostramos o seguinte teorema utilizando só o método de Cauchy (seção 2.3) e sub-triangulações:

**Teorema 3.1.** Seja  $K$  um polígono triangulado em  $\mathbb{R}^2$ , homeomorfo a um disco  $D$ , com possíveis identificações dos simplexes na borda de  $K$ , o que denotamos por  $K_0$ . Temos

$$\chi(K) = \chi(K_0) + 1.$$

Ressaltamos que o ponto importante de nossa demonstração é, a partir da triangulação dada, providenciamos uma sub-triangulação tal que possamos provar o teorema usando apenas o método de Cauchy (seção 2.3), sem outras ferramentas. Uma tal sub-triangulação pode ser realizada usando o seguinte lema.

**Lema 3.2** (Sub-triangulação). Seja  $\sigma$  um simplexo de dimensão 2 (triângulo) em uma triangulação  $K$  de um polígono e  $\tau = (x, y)$  um segmento que divide  $\sigma$ , onde  $x$  e  $y$  pertencem a dois lados diferentes do triângulo  $\sigma$ . Então, existe uma sub-triangulação  $K'$  de  $K$  tal que  $\tau$  é um simplexo de dimensão 1 de  $K'$  e que o número  $n_0 - n_1 + n_2$  é o mesmo para  $K$  e  $K'$ .

*Demonstração.* Temos duas situações possíveis, descritas nas figuras 30 (i) e (ii), seguido que um vértice do segmento  $\tau$  é um vértice do triângulo  $\sigma$  ou não. Descrevemos a primeira situação (figura 30 (i)).

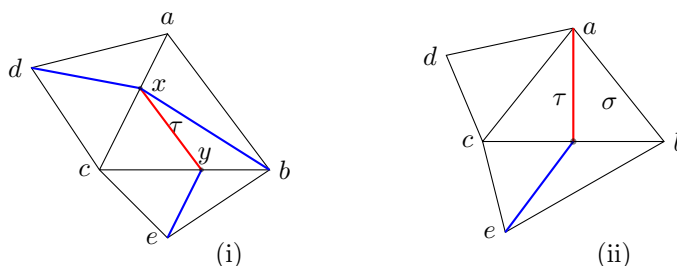


FIGURA 30. Sub-triangulação  $K'$

Denotamos  $a, b, c$  os vértices de  $\sigma$ . Suponhamos que  $\tau$  seja o segmento  $(x, y)$  com  $x \in (a, c)$  e  $y \in (b, c)$ . Definamos a triangulação  $K'$  como seguinte: O triângulo  $(x, y, c)$  é um simplexo de dimensão 2 de  $K'$ . O quadrilátero  $(a, b, y, x)$  pode ser dividido em dois triângulos, por exemplo  $(a, b, x)$  e  $(b, x, y)$ , que fornecem dois simplexos de dimensão 2 de  $K'$ . Agora,  $(a, c)$  é uma face de um simplexo de dimensão 2 de  $K$ , seja  $(a, c, d)$ . Dividimos este simplexo em dois simplexos de dimensão 2, que são  $(a, d, x)$  e  $(d, x, c)$ . Analogamente, o simplexo  $(c, b, e)$  será dividido em dois simplexos de dimensão 2. Assim obtemos a nova triangulação  $K'$  no qual  $n_0$  aumenta de 2 e  $n_1$  aumenta de 6, e  $n_2$  aumenta de 4, então a soma  $n_0 - n_1 + n_2$  mantém-se igual para  $K$  e  $K'$ .

Agora, a segunda situação (figura 30 (ii)) é óbvia. □

*Demonstração do teorema 3.1 usando apenas o método de Cauchy.* Sendo um polígono  $K$  no plano  $Q \cong \mathbb{R}^2$ , triangulado e homeomorfo a um disco  $D$ , com possíveis identificações dos simplexos na borda de  $K$ , o que denotamos por  $K_0$ , a prova consiste em seis seguintes etapas.

1) Etapa 1: A primeira etapa é construir um “alongamento” de  $K$  na forma de uma pirâmide. Aqui, chamaremos de pirâmide somente a parte superficial (de dimensão 2) da pirâmide, isto é, a união das faces da pirâmide, menos a base.

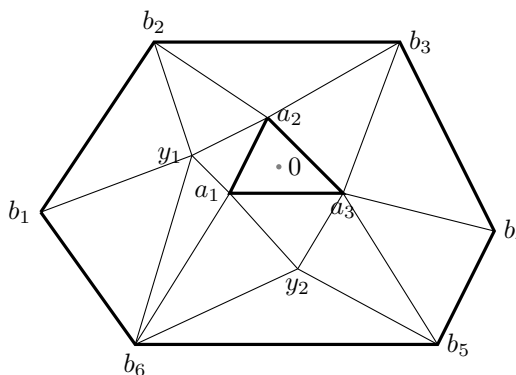


FIGURA 31. A triangulação do polígono  $K$ .

Podemos supor que a origem  $0$  de  $\mathbb{R}^2$  está em um simplexo  $\sigma_0$  de dimensão 2 (um triângulo) no interior do polígono  $K$ . Dentro de  $\mathbb{R}^2$  consideramos a métrica Euclidiana. Podemos supor que as distâncias da

origem aos vértices da triangulação sejam diferentes, pois caso contrário, isso pode ser realizado por uma pequena perturbação sem mudar a estrutura do complexo simplicial e a demonstração do teorema mante-se válida.

Denotamos por  $a_1, a_2, a_3$  os vértices de  $\sigma_0$  e por  $b_1, \dots, b_k$  os vértices da triangulação de  $K_0$ . Os demais outros vértices estão denotados da seguinte maneira: Chamamos de  $y_1$  o vértice mais perto de 0 e  $y_2, \dots, y_n$  os vértices na ordem crescente da distância de 0. Podemos supor também que a distância da origem ao vértice  $y_1$  é maior que as distâncias da origem aos vértices de  $\sigma_0$ .

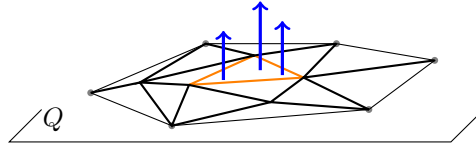


FIGURA 32. O levantamento do polígono.

Vamos construir uma pirâmide  $\Pi$  em  $\mathbb{R}^3$ , acima de  $K$ , fixando a borda  $K_0$  como sendo a base da pirâmide no plano  $Q = \mathbb{R}^2$  horizontal em  $\mathbb{R}^3$ .

Para  $i = 0, \dots, n + 1$ , consideramos os planos  $P_i$  paralelos e têm distâncias  $n - i + 1$  relativamente ao plano de base  $Q$  em  $\mathbb{R}^3$ . Agora, para  $i = 1, \dots, n$ , chamamos de  $x_i$  a projeção ortogonal do ponto  $y_i$  sobre o plano  $P_i$ . No plano  $P_0$ , denotamos por  $u_1, u_2, u_3$  as projeções ortogonais dos pontos  $a_1, a_2, a_3$  (veja figura 33 (i)).

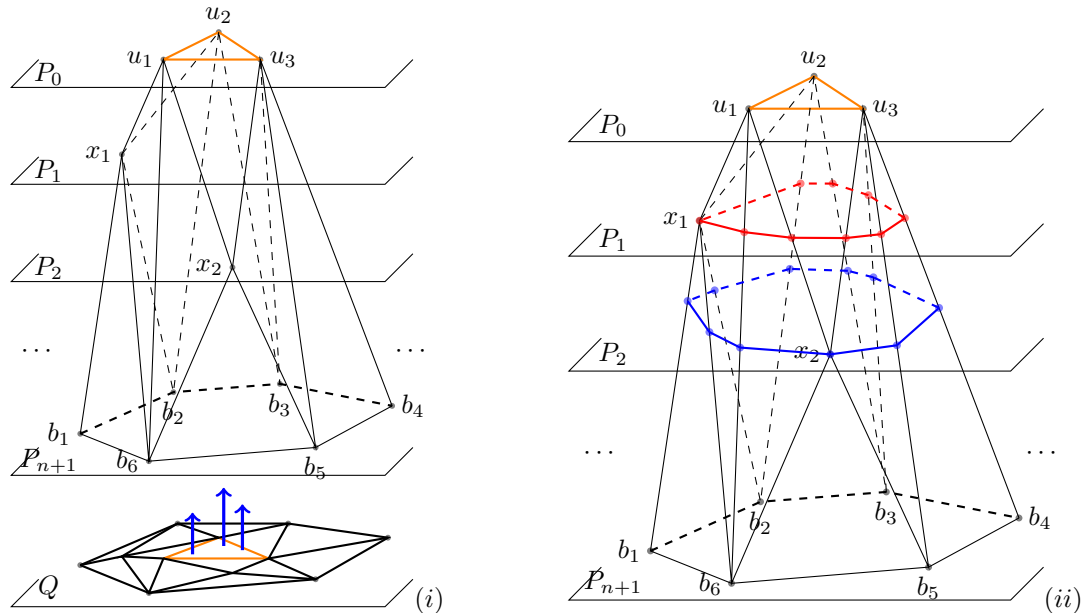


FIGURA 33. A pirâmide  $\Pi$  e a decomposição  $L'$  da pirâmide  $\Pi$ .

A triangulação do polígono induz uma triangulação  $L$  na pirâmide  $\Pi$  levantando cada simplexo  $[b_i, y_j]$  em  $[b_i, x_j]$ , cada  $[y_i, y_j]$  em  $[x_i, x_j]$  e cada  $[y_i, a_j]$  em  $[x_i, u_j]$ . Da mesma maneira, levantamos os simplexos de dimensão 2.

2) Etapa 2: Construimos uma sub-decomposiçao  $L'$  da triangulaçao  $L$  da piramide  $\Pi$ , tal que a interseçao dos planos  $P_i$  com a piramide seja triangulada da seguinte maneira: Definimos novos vertices de  $L'$  como interseçoes de 1-simplexos de  $L$  com planos  $P_i$ . Da mesma maneira, definimos tambem novos 1-simplexos de  $L'$  como interseçoes de 2-simplexos de  $L$  com planos  $P_i$ . A decomposiçao  $L'$  da piramide contem vertices, arestas (ou 1-simplexos), e faces que podem ser triangulos ou quadrilateros (veja figura 33 (ii)).

3) Etapa 3: Definamos uma sub-triangulaçao  $L''$  de  $L$  da seguinte maneira: Usando o lema 3.2 com  $\tau = P_i \cap \sigma$  para cada 2-simplexo  $\sigma$  de  $L$  e cada plano  $P_i$ , obtemos uma sub-triangulaçao  $L''$  de  $L$  de tal modo que todos os vertices de  $L''$  estao situados nos planos  $P_i$ . Alem disso, o lema 3.2 implica que a soma  $n_0 - n_1 + n_2$  e a mesma para as triangulaçoes  $L$  e  $L''$  (veja figura 34).

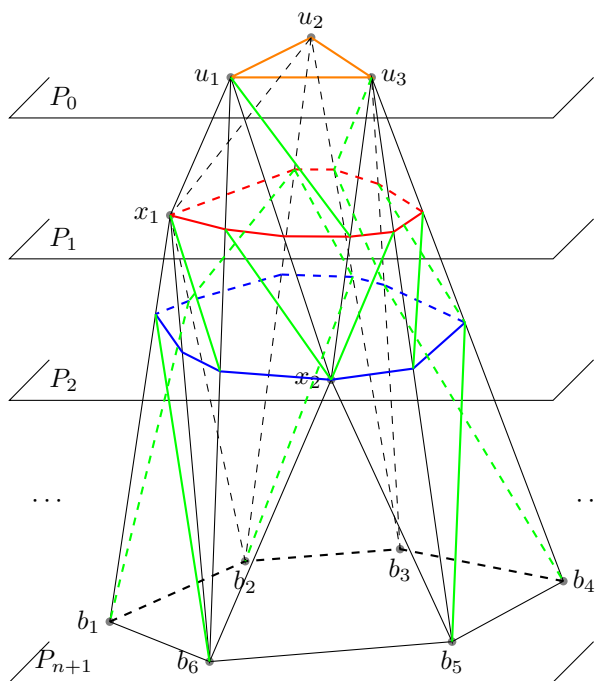
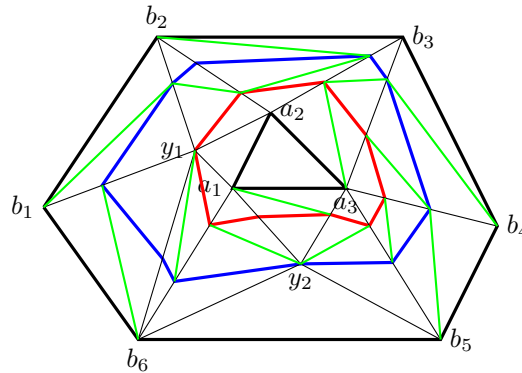


FIGURA 34. A sub-triangulaçao  $L''$  da piramide  $\Pi$ .

A projeçao de  $L''$  sobre o plano  $P_0$  induz uma sub-triangulaçao  $K''$  da triangulaçao  $K$  (figura 35).

FIGURA 35. A sub-triangulação  $K''$  do polígono.

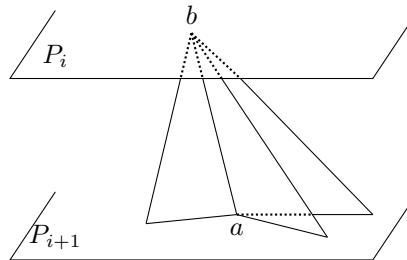
4) Etapa 4: Mostramos por indução que a interseção de  $L''$  com cada plano  $P_i$  é uma curva homeomorfa a uma circunferência.

Observamos que a projeção ortogonal  $\pi$  da pirâmide sobre  $Q$  é uma bijeção entre a triangulação  $L''$  (da pirâmide  $\Pi$ ) e a triangulação  $K''$  (do polígono  $K$ ).

De fato, por construção, como não tem arestas verticais na pirâmide, a projeção  $\pi : \Pi \rightarrow K$  é uma bijeção entre as triangulações  $L''$  e  $K''$ . Cada vértice de  $K''$  corresponde a um vértice de  $L''$ , e da mesma maneira para as arestas e os triângulos de  $L''$  e  $K''$ , respectivamente. Isso implica que  $K''$  é uma triangulação.

Vamos mostrar que todas as interseções  $B_i = L \cap P_i$  estão homeomorfas a circunferências. Iniciando com  $L \cap P_0$ , que é a borda denotada por  $B_0$  do triângulo  $\sigma_0$ , e que é homeomorfa a uma circunferência.

Note que, por um lado, sabemos que a projeção  $\Pi \rightarrow D$  é uma bijeção, e por outro lado, na triangulação  $K''$ , e também  $L''$ , toda aresta é borda de exatamente dois triângulos. Suponhamos que  $B_i$  seja homeomorfa a uma circunferência. Se  $B_{i+1}$  não for homeomorfa a uma circunferência, terá um ponto múltiplo (como na figura 36). Neste caso, a aresta  $(a, b)$ , que é uma aresta da  $L''$ , é a borda de três triângulos (simplexos de dimensão 2), que é contradição.

FIGURA 36. Figura não admissível: A interseção  $B_i$  de  $L$  com cada plano  $P_i$  não tem ponto múltiplo.

5) Etapa 5: Aplicar o método de Cauchy (seção 2.3): Agora, vamos aplicar o método de Cauchy na pirâmide iniciando removendo o triângulo  $\sigma_0$ . Suponhamos que já removemos todos triângulos acima do plano  $P_i$ . Vamos mostrar que removendo todos os triângulos na faixa situada entre  $P_i$  e  $P_{i+1}$ , para



$i = 0, \dots, n$ , não muda a soma  $n_0 - n_1 + n_2$ . Isso se pode fazer pois a faixa (aberta) entre  $B_i$  e  $B_{i+1}$  não possui vértices, como seguinte:

Escolhemos um triângulo  $(\alpha_0, \alpha_1, \beta_0)$  da faixa entre  $B_i$  e  $B_{i+1}$ , onde os vértices  $\alpha_0$  e  $\alpha_1$  pertencem a  $B_i$  e  $\beta_0$  pertence a  $B_{i+1}$ . Primeiramente, removemos o triângulo  $(\alpha_0, \alpha_1, \beta_0)$  pela “operação I”, sem mudar a soma  $n_0 - n_1 + n_2$ . Agora, a aresta  $(\alpha_1, \beta_0)$  também é a borda seja de um triângulo  $(\alpha_1, \beta_0, \beta_1)$ , com  $\beta_1 \in B_{i+1}$  (veja figura 37 (a)), seja de um triângulo  $(\alpha_1, \alpha_2, \beta_0)$ , com  $\alpha_2 \in B_i$  (veja figura 37 (b)). No primeiro caso, o triângulo  $(\alpha_1, \beta_0, \beta_1)$  pode ser removido pela “operação I” de Cauchy, e no segundo caso o triângulo  $(\alpha_1, \alpha_2, \beta_0)$  pode ser removido pela “operação II” de Cauchy. Nos dois casos, a soma  $n_0 - n_1 + n_2$  não está alterada.

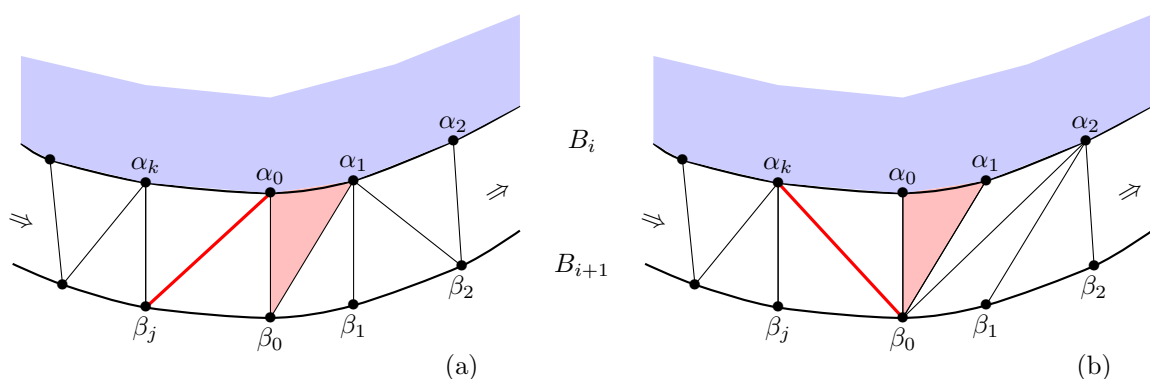


FIGURA 37. Indo de  $B_i$  a  $B_{i+1}$ .

Continuamos o processo para os triângulos da faixa, que são todos de um caso ou do outro, até chegar aos últimos vértices de  $B_i$  e  $B_{i+1}$  situados antes de voltar a  $\alpha_0$  e  $\beta_0$ , respectivamente. Chamamos estes de  $\alpha_k$  e  $\beta_j$ . Temos duas situações possíveis (a) e (b) (veja figura 37). Na situação (a), os últimos triângulos restantes estão  $(\alpha_k, \alpha_0, \beta_j)$  e  $(\alpha_0, \beta_j, \beta_0)$ . Neste caso os triângulos  $(\alpha_k, \alpha_0, \beta_j)$  e  $(\alpha_0, \beta_j, \beta_0)$  podem ser removidos nesta ordem com a “operação II” de Cauchy. Na situação (b), os últimos triângulos restantes são  $(\alpha_k, \beta_j, \beta_0)$  e  $(\alpha_k, \alpha_0, \beta_0)$ . Neste caso os triângulos  $(\alpha_k, \alpha_0, \beta_0)$  e  $(\alpha_k, \beta_j, \beta_0)$  podem ser removidos nesta ordem também com a “operação II” de Cauchy. Em todos os dois casos, a soma  $n_0 - n_1 + n_2$  fica a mesma.

Nesta prova usamos apenas as operações de Cauchy.

6) Etapa 6: A conclusão.

O processo vale até a borda  $B_{n+1}$  do último buraco, que é a borda  $K_0$  de  $K$ , e também é a interseção de  $L''$  com o plano  $Q = P_{n+1}$ .

Denotamos por  $n_0^K$ ,  $n_1^K$  e  $n_2^K$  respectivamente os números de vértices, arestas e triângulos da triangulação  $K$  e usamos a mesma notação para a triangulação  $K''$  do disco e a triangulação  $K_0$  da borda. Temos

$$n_0^K - n_1^K + n_2^K = n_0^{K''} - n_1^{K''} + n_2^{K''} = n_0^{K_0} - n_1^{K_0} + 1.$$

A primeira igualdade vem do fato que o processo de sub-triangulação não muda a soma alterada e a segunda igualdade vem do fato que o triângulo  $\sigma_0$  foi removido no início e que  $n_2^{K_0} = 0$ . Aqui tomamos em conta as identificações dos simplexes de  $K_0$ .

Sendo uma triangulação do polígono  $K$ , o resultado não depende de escolhas efetuadas.  $\square$

**Prova do Teorema 2.1 usando o método de Cauchy.** Seja  $P$  um poliedro convexo. Prosseguimos a representação planar  $K$  de  $P$ , de acordo com o primeiro passo da prova de Cauchy (veja a figura 21), removendo um polígono  $\mathcal{F}$ . Observe que no caso de um poliedro convexo,  $K$  é um polígono sem nenhuma identificação de simplexes na sua borda  $K_0$ . Então  $n_0^{K_0} - n_1^{K_0} + n_2^{K_0} = 0$ . O teorema 3.1 implica que  $n_0^{\hat{K}} - n_1^{\hat{K}} + n_2^{\hat{K}} = +2$ , tomando em consideração o polígono removido  $\mathcal{F}$  no primeiro passo da prova de Cauchy. Como o teorema 3.1 é provado usando apenas o método de Cauchy, a fórmula de Euler também é provada usando apenas o método de Cauchy.  $\square$

**Observação 3.3.** Como ressaltamos no início desta seção, usamos na demonstração acima apenas o método de Cauchy (seção 2.3), sem outras ferramentas. Existem outras maneiras para provar o teorema 2.1 (veja, por exemplo, [Epp]). Porém, nestas demonstrações são usadas ferramentas que aparecem depois da época de Cauchy.

Antes de prosseguir com as aplicações, damos algumas observações sobre a prova do Teorema 3.1.

**Observação 3.4.** A prova da fórmula de Euler usando a projeção estereográfica é um caso particular da prova.

**Observação 3.5.** Existem outras maneiras de definir uma ordem de vértices do polígono (triangulado) para construir a pirâmide, sem usar a distância euclidiana em  $\mathbb{R}^2$ .

Uma maneira possível é usar a noção de distância entre dois vértices como o menor número de arestas em um caminho de arestas que une estes vértices. Como na prova do Teorema 3.1, escolha um simplexo  $\sigma_0$  de dimensão 2 no interior do polígono  $K$  e defina a distância 0 para os três vértices de  $\sigma_0$ . Decida qualquer ordem entre os vértices cuja distância aos vértices de  $\sigma_0$  é 1, continua-se decidindo qualquer ordem entre vértices cuja distância aos vértices de  $\sigma_0$  é 2, etc. Em seguida, prossegue-se a construção da pirâmide.

Outra maneira seria iniciar a prova do Teorema 2.1 com o poliedro convexo e ordenar as faces de dimensão 2 de acordo com o processo de “shelling” (veja [Zie] e [BM]). As faces de dimensão 2 do poliedro são duais dos vértices do poliedro polar. Obtemos uma ordem pelos vértices do poliedro polar. Continuamos a prova usando o poliedro polar ao lugar do poliedro original, sabendo que a soma  $n_0 - n_1 + n_2$  é a mesma para o poliedro e para o seu polar. Note que o “shelling” é uma ferramenta que foi definida bem depois de Cauchy, portanto não é aceitável em nosso contexto. Mencionamos isso apenas por uma questão de completude.

**Observação 3.6.** Na etapa 4 da prova, a projeção no plano  $Q$  da interseção de cada plano  $P_i$  com a pirâmide é uma curva de Jordan passando por  $y_i$ . Além disso, na etapa 5 da nossa prova, deixamos claro que, se o limite do buraco estendido for homeomorfo a uma circunferência, então o processo de Cauchy funciona. Neste caso, é possível prosseguir na etapa 5 seja com a sub-triangulação  $L''$  da pirâmide, ou seja com a sub-triangulação  $K''$  do polígono  $K$ .

**Observação 3.7.** Na etapa 5 da prova, usamos apenas as operações I e II de Cauchy. Observando que, se alterarmos a ordem de remoção dos últimos triângulos restantes, por exemplo, na situação (a), se removermos o triângulo  $(\alpha_0, \beta_j, \beta_0)$  e, depois, o triângulo  $(\alpha_k, \alpha_0, \beta_j)$ , usaremos primeiro a operação I de Cauchy e depois a operação que chamamos de operação III na seção 2.4 (veja a figura 28 (d)). Aqui também não alteramos a soma  $n_0 - n_1 + n_2$ .

**Observação 3.8.** Como enfatizamos no início desta seção, usamos na prova apenas o método de Cauchy (seção 2.3) sem outras ferramentas. Sabemos muito bem que existem maneiras “mais modernas e mais

rápidas” para provar o teorema 3.1. No entanto, essas provas usam ferramentas que aparecem depois da época de Cauchy. Em particular, algumas provas usam o Lema de Jordan (veja [Jo]) que, como vimos, aparece como um artefato em nossa prova.

#### 4. APLICAÇÕES

A seguir, usando o teorema 3.1, mostramos que o valor  $n_0 - n_1 + n_2$  não depende da triangulação nos casos da esfera, do toro, do plano projetivo, da garrafa de Klein e mesmo no caso de uma superfície singular: o toro pinçado.

Em cada caso, usaremos uma representação planar da superfície sob a forma de um polígono triangulado homeomorfa a um disco com possíveis identificações na borda, e usaremos um lema “de corte”. A idéia de corte foi introduzida, em geral, por Alexander Veblen em um seminário em 1915 (veja [Bra]). Essa idéia é bem desenvolvida no livro de Hilbert e Cohn-Vossen [HC], em particular para as superfícies que damos como exemplos. O seguinte lema de “de corte” será usado nas próximas provas.

**Lema 4.1.** Seja  $\mathcal{T}$  uma triangulação de uma superfície  $S$  compacta. Seja  $\Gamma$  uma curva contínua simples em  $S$ . Existe uma sub-triangulação  $\mathcal{T}'$  de  $\mathcal{T}$ , com simplexos curvilineares, compatível com a curva (isto é,  $\Gamma$  é união de segmentos de  $\mathcal{T}'$ ) tal que o número  $n_0 - n_1 + n_2$  é o mesmo para  $\mathcal{T}$  e  $\mathcal{T}'$ .

*Demonstração.* Antes de tudo, podemos supor que a curva  $\Gamma$  seja transversal a todas as arestas de  $\mathcal{T}$ , isto é, a interseção de  $\Gamma$  com cada aresta é um número finito de pontos. Se não for o caso, uma pequena perturbação de  $\Gamma$  permite obter a transversalidade.

Escolhemos um ponto base (ponto de partida)  $x_0$  sobre a curva assim que um sentido de percurso da curva. Se a curva não for fechada, definimos o ponto base como uma das extremidades da curva. O que segue não depende nem do ponto de partida, nem do sentido de orientação.

A sub-triangulação  $\mathcal{T}'$  está construída simplexo por simplexo seguindo o percurso da curva  $\Gamma$ . O primeiro simplexo a ser subdividido é aquele  $\sigma_0$  que contém o ponto base. Seja  $y$  o (primeiro) ponto de saída de  $\sigma_0$  pela curva. O segmento (curvilinear)  $(x_0, y)$  será uma aresta de  $\mathcal{T}'$  assim que segmentos ligando  $x_0$  aos vértices de  $\sigma_0$ , um dos quais pode ser  $(x_0, y)$  se o ponto  $y$  for um vértice de  $\sigma_0$  (figura 38 (ii)).

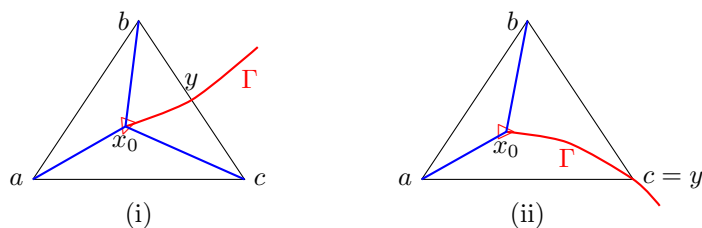


FIGURA 38. Sub-divisão do primeiro simplexo I.

Agora, basta fazer a construção para um simplexo  $\sigma = (a, b, c)$  no qual a curva  $\Gamma$  entra. A construção a seguir supõe que todos os simplexos encontrados pela curva entre o ponto base e o simplexo  $\sigma$  seguindo a orientação dada já estão subdivididos. O ponto de “entrada” de  $\Gamma$  em  $\sigma$  pode ser seja um vértice, seja um ponto  $d$  localizado em um lado de  $\sigma$ .

Se o ponto de entrada da curva  $\Gamma$  em  $\sigma$  é um vértice  $a$ , a curva pode sair em um ponto  $d$  localizado seja no lado oposto, seja em um lado que contém o vértice  $a$ , seja em um outro vértice  $b$ . No primeiro

caso (figura 39 (i)), dividimos o triângulo  $(a, b, c)$  em dois triângulos (curvilineares)  $(a, b, d)$  e  $(a, d, c)$ . No segundo caso (figura 39 (ii)), seja  $e \in (a, c)$  o ponto no qual a curva  $\Gamma$  saia do triângulo, escolhemos um ponto  $f$  na curva, localizado entre  $a$  e  $e$ . Dividimos o triângulo  $(a, b, c)$  em quatro triângulos (curvilineares)  $(a, b, f)$ ,  $(b, f, e)$ ,  $(b, e, c)$  e  $(a, f, e)$ . Enfim, no último caso (figura 39 (iii)), suponha que o ponto de saída seja o vértice  $c$ , escolhemos um ponto  $f$  na curva, localizado entre  $a$  e  $c$ . Dividimos o triângulo  $(a, b, c)$  em três triângulos (curvilineares)  $(a, b, f)$ ,  $(b, f, c)$  e  $(a, f, c)$ .

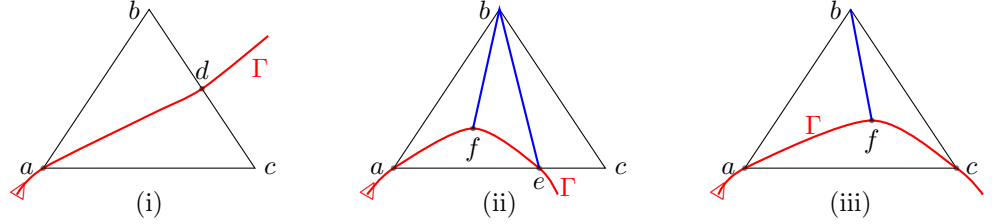


FIGURA 39. Sub-divisões II.

Observamos que, nos três casos acima, a escolha de sub-triangulação não é única, mas a soma  $n_0 - n_1 + n_2$  permanece inalterada independentemente da escolha.

Se o ponto de entrada da curva  $\Gamma$  em  $\sigma$  estiver localizado em um lado, denotamos por  $d$  o ponto de entrada e por  $(a, c)$  o lado de  $\sigma$  que contém  $d$ . O próximo ponto de saída de  $\Gamma$  pode ser seja em um outro lado que  $(a, c)$  (por exemplo  $(a, b)$ ), seja no mesmo lado  $(a, c)$ , seja um vértice.

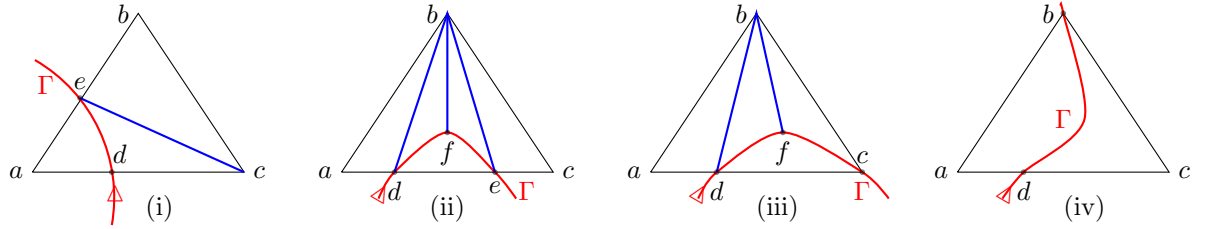


FIGURA 40. Sub-divisões III.

Na primeira situação (figura 40 (i)), definimos (por exemplo) uma sub-triangulação do triângulo  $(a, b, c)$  como sendo formada dos triângulos (curvilineares)  $(a, d, e)$ ,  $(c, e, d)$  e  $(c, e, b)$ .

Na segunda situação, por exemplo se a curva  $\Gamma$  entra e sai pelos ponto  $d$  e  $e$  localizados no mesmo lado  $(a, c)$ , escolhemos um ponto  $f$  na curva localizado entre  $d$  e  $e$  (figura 40 (ii)). Definimos uma sub-triangulação do triângulo  $(a, b, c)$  como sendo formada de cinco triângulos (curvilineares)  $(a, b, d)$ ,  $(b, d, f)$ ,  $(b, f, e)$ ,  $(b, e, c)$  e  $(d, f, e)$ .

As duas últimas situações (figura 40 (iii) e (iv)) são semelhantes aos casos da figura 39 (ii) e (i) respectivamente.

Observamos que, nos quatro casos, a escolha de sub-triangulação não é única, mas a soma  $n_0 - n_1 + n_2$  permanece inalterada independentemente da escolha.

Os triângulos que tem um lado comum com  $\sigma$  estão divididos da mesma maneira.

O processo continua para todos os 2-simplexos para os quais a curva  $\Gamma$  passa. Eles estão em número finito, mesmo depois da subdivisão.  $\square$

4.1. **Caso da esfera.** Já providenciamos uma prova do Teorema 2.1 usando o método de Cauchy. No entanto, damos aqui duas provas de mais do fato que a soma  $n_0 - n_1 + n_2$  não depende da triangulação da esfera. A primeira prova usa cortes, o que dá uma representação planar da figura 41, e a segunda prova usa a projeção estereográfica da esfera sobre um plano. Nos dois casos, usamos também o teorema 3.1.

**1. Usando os cortes.**

Seja  $\mathcal{T}$  uma triangulação da esfera  $\mathbb{S}^2$ . Consideramos quatro curvas sobre a esfera: o equador  $E$  (ou qualquer paralelo) e três curvas  $\gamma_1, \gamma_2$  e  $\gamma_3$ , indo do pólo norte  $N$  até a curva  $E$  ao longo de meridianos. Denotamos por  $a_i, i = 1, 2, 3$ , os pontos  $\gamma_i \cap E$  de chegada das curvas  $\gamma_i$ . Estas curvas podem ser, por exemplo, parte norte dos meridianos  $0^\circ, 120^\circ$  leste e  $120^\circ$  oeste (veja figura 41 (1)). Usando o lema 4.1 podemos construir uma subdivisão  $\mathcal{T}'$  da triangulação  $\mathcal{T}$  compatível com as quatro curvas, isto é, tal que a união das quatro curvas seja um subcomplexo de  $\mathcal{T}'$ . O lema 4.1 mostra que a soma  $n_0 - n_1 + n_2$  permanece a mesma.

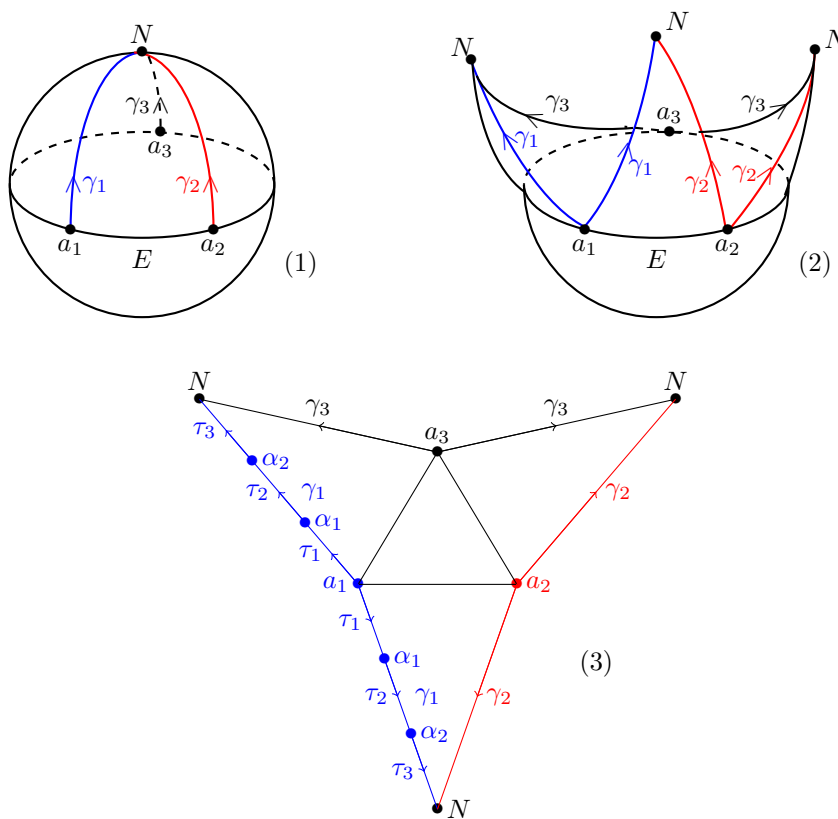


FIGURA 41. Representação planar da esfera

Agora, cortamos a esfera ao longo das curvas  $\gamma_1, \gamma_2$  e  $\gamma_3$ , de tal modo que podemos projetar a figura no plano contendo o equador (veja figura 41 (2)). Obtemos uma representação planar  $K$  da esfera homeomorfa a um disco e com identificações dos simplexos na borda  $K_0$  correspondentes aos cortes feitos. A triangulação de  $K$  corresponde simplexo por simplexo à triangulação  $\mathcal{T}'$ .

O teorema 3.1 diz que a soma  $n_0^K - n_1^K + n_2^K$  pela triangulação  $K$  é igual à soma  $n_0^{K_0} - n_1^{K_0} + 1$ . Usando as mesmas notações na esfera e na representação planar, o vértice  $N$  é comum às todas as curvas

$\gamma_i$  e deve ser identificado. Fora deste vértice, em cada curva  $\gamma_i$  temos um número de vértices igual ao número de arestas (veja figura 41 (3) onde desenhamos um exemplo de sub-triangulação da aresta  $\gamma_1$  com três vértices e três arestas). Então pela borda da representação planar temos  $n_0^{K_0} - n_1^{K_0} = +1$  e pela triangulação  $\mathcal{T}$  da esfera temos

$$n_0 - n_1 + n_2 = +2.$$

## 2. Usando a projeção estereográfica.

Seja  $\mathcal{T}$  uma triangulação da esfera  $\mathbb{S}^2$  e  $\sigma = (a, b, c)$  o triângulo (aberto) da triangulação contendo o pólo norte. A primeira etapa é fazer a projeção estereográfica  $p : \mathbb{S}^2 \setminus \sigma \rightarrow Q$  da esfera removida o triângulo  $\sigma$  onde  $Q$  é o plano tangente da esfera ao pólo sul. Denotamos  $U = \mathbb{S}^2 \setminus \sigma$ .

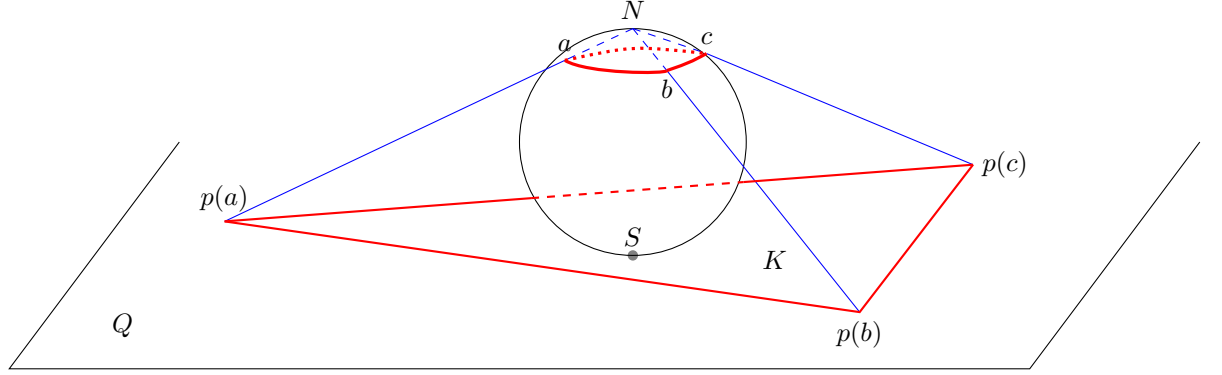


FIGURA 42. A projeção estereográfica.

A projeção estereográfica de  $U = \mathbb{S}^2 \setminus \sigma$  sobre o plano  $Q$  é um triângulo  $K$  homeomorfa a um disco  $D$ , e, neste caso, sem identificações na borda  $K_0$ . A triangulação da esfera induz uma triangulação do triângulo  $K$ , cada simplexo de  $K$  sendo a imagem de um simplexo de  $\mathcal{T}$  pela projeção  $p$ . Então a quantidade  $n_0 - n_1 + n_2$  satisfaz :

$$n_0^{\mathcal{T}} - n_1^{\mathcal{T}} + n_2^{\mathcal{T}} = n_0^U - n_1^U + n_2^U + 1,$$

onde “+1” é a contribuição do triângulo  $\sigma$ .

Agora, pelo teorema 3.1, temos

$$n_0^U - n_1^U + n_2^U = n_0^K - n_1^K + n_2^K = n_0^{K_0} - n_1^{K_0} + 1 = +1,$$

observando que  $K_0$  é a borda do triângulo  $K$  com  $n_0^{K_0} = n_1^{K_0} = 3$ .

Finalmente, obtemos

$$n_0^{\mathcal{T}} - n_1^{\mathcal{T}} + n_2^{\mathcal{T}} = +2$$

para qualquer triangulação da esfera.

**4.2. Caso do toro.** Seja  $\mathcal{T}$  uma triangulação qualquer do toro  $\mathbb{T} = \mathbb{S}^1 \times \mathbb{S}^1$ .

Escolhamos um meridiano  $M = \mathbb{S}^1 \times \{0\}$  e um paralelo  $P = \{0\} \times \mathbb{S}^1$ . Eles se cruzam em um ponto  $a = \{0\} \times \{0\}$ . Observamos que, sem perda de generalidade, podemos escolhê-los transversalmente a todas as arestas (simplexos de dimensão 1) de  $\mathcal{T}$ . Definimos uma sub-triangulação  $\mathcal{T}'$  de  $\mathcal{T}$ , da seguinte maneira (veja figura 43): Cada triângulo  $\sigma$  (simplexo de dimensão 2) de  $\mathcal{T}$  que encontra  $M$  ou  $P$  está subdividido de maneira que  $\sigma \cap M$  (ou  $\sigma \cap P$ ) seja uma aresta de  $\mathcal{T}'$ . Concluímos a subdivisão obtendo

uma sub-triangulação  $\mathcal{T}'$  de  $\mathcal{T}$ . O lema 4.1 mostra que a soma  $n_0 - n_1 + n_2$  permanece a mesma para  $\mathcal{T}$  e  $\mathcal{T}'$ .

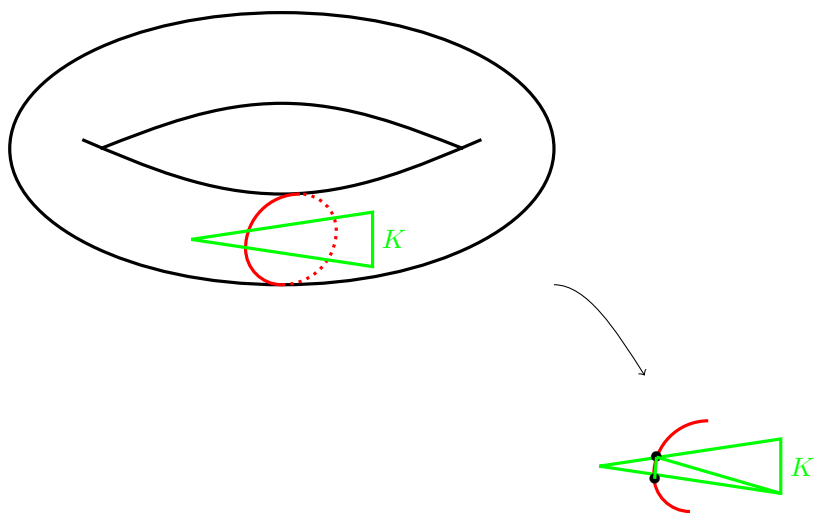


FIGURA 43. Sub-triangulação  $K'$  de  $K$ .

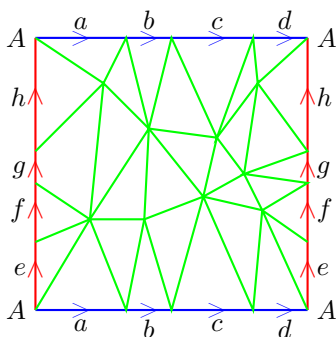


FIGURA 44. Uma representação planar  $K$  do toro.

Agora, cortando o toro ao longo  $M$  e  $P$ , obtemos uma representação planar  $K$  do toro homeomorfa a um disco, com identificações correspondente ao corte. Esta representação é feita da mesma maneira da representação planar na figura 8 mas triangulada como a triangulação  $K$  correspondente a sub-triangulação  $\mathcal{T}'$  de  $\mathcal{T}$ . Portanto, pelo lema 4.1, o número  $n_0 - n_1 + n_2$  permanece inalterada. Usando o teorema 3.1, temos

$$n_0^{\mathcal{T}} - n_1^{\mathcal{T}} + n_2^{\mathcal{T}} = n_0^{\mathcal{T}'} - n_1^{\mathcal{T}'} + n_2^{\mathcal{T}'} = n_0^K - n_1^K + n_2^K = n_0^{K_0} - n_1^{K_0} + 1.$$

Agora, sendo as identificações na borda  $K_0$ , temos:  $n_1^{K_0} = n_0^{K_0} + 1$ . Finalmente,

$$n_0^{\mathcal{T}} - n_1^{\mathcal{T}} + n_2^{\mathcal{T}} = 0$$

para qualquer triangulação do toro.

A mesma prova vale para o toro de qualquer gênero  $g$ . Por exemplo, tomemos  $g = 3$ . Sendo uma triangulação  $\mathcal{T}$ , fixamos um ponto  $x$  e, ao redor de cada “buraco” do toro, fixamos um “meridiano” ( $a_1$ ,

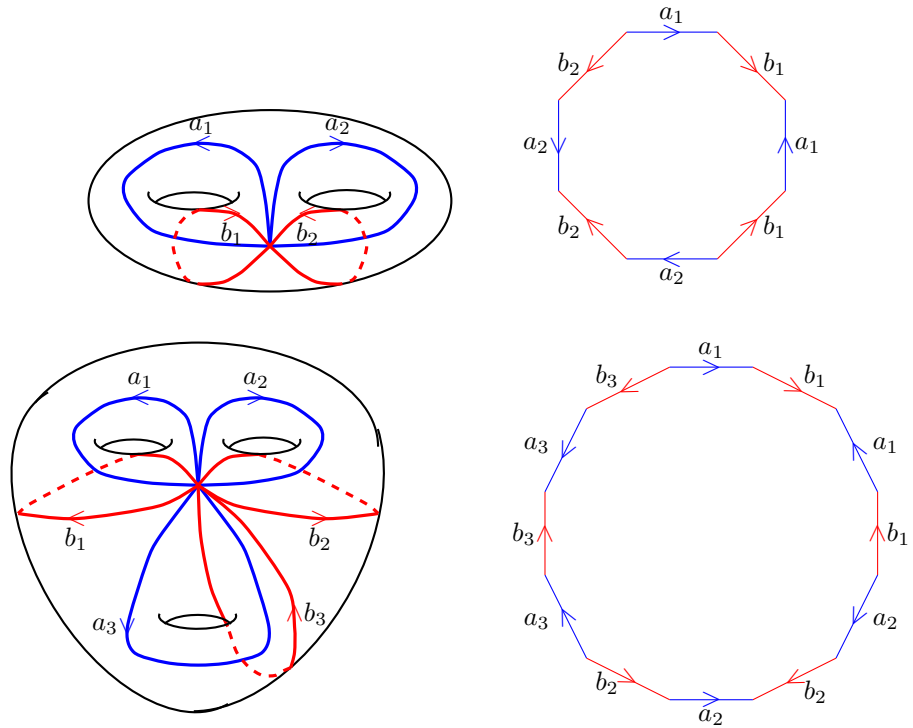


FIGURA 45. Representação planar do toro de gênero  $g$ , para  $g = 2, 3$ . Ao fim de ter uma figura mais leve, não desenhamos aqui a triangulação tal que cada aresta  $a_i$  e  $b_i$  seja dividida em ao menos três arestas (veja observação 1.9).

$a_2, a_3$  nas figuras 45) e um “paralelo” ( $b_1, b_2, b_3$  nas figuras 45). Construímos uma sub-triangulação  $\mathcal{T}'$  de  $\mathcal{T}$  pelo mesmo método que no caso do toro  $T$ . Cortando o toro de gênero  $g$  ao longo dos meridianos e dos paralelos, obtemos uma representação planar  $K$  do toro de gênero 3, que é um polígono triangulado pela imagem da triangulação  $\mathcal{T}'$ .

**4.3. Caso do plano projetivo.** O plano projetivo é representado por uma esfera cujos pontos diametralmente opostos estão identificados. Uma triangulação do plano projetivo é dada por uma triangulação da esfera simétrica relativamente ao centro da esfera. Consideramos a esfera em  $\mathbb{R}^3$  (veja figura 11) e seja  $\mathcal{T}$  uma tal triangulação do plano projetivo.

A interseção de  $\mathcal{T}$  com o equador define uma triangulação  $J$  do equador, simétrica relativamente ao centro da esfera. Definimos uma sub-triangulação  $\mathcal{T}'$  de  $\mathcal{T}$  tal que simplexos de  $J$  sejam simplexos de  $\mathcal{T}'$  e que  $\mathcal{T}'$  seja simétrica relativamente ao centro da esfera (veja figura 46). Pelo lema 3.2, a quantidade  $n_0 - n_1 + n_2$  é a mesma para  $\mathcal{T}$  e  $\mathcal{T}'$ .



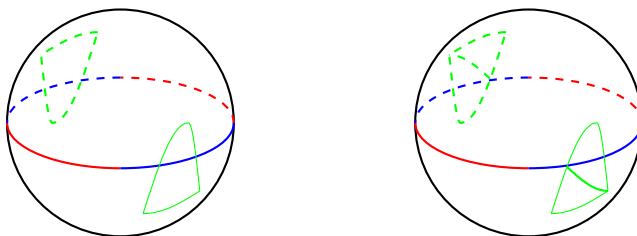


FIGURA 46. Triangulação  $\mathcal{T}$  do plano projetivo    Sub-triangulação  $\mathcal{T}'$  de  $\mathcal{T}$

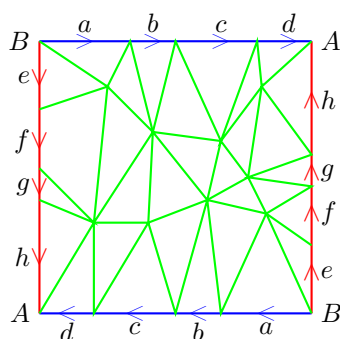


FIGURA 47. Uma representação planar  $K$  do plano projetivo.

Agora, a projeção ortogonal da semiesfera norte sobre o plano  $Oxy$  fornece uma triangulação  $K$  do disco  $D$  de raio 1, centrado na origem, cuja triangulação da borda é simétrica relativamente à origem. Com a identificação dos simplexos na borda, a quantidade  $n_0 - n_1$  vale 0 na borda. Então pelo teorema 3.1, temos

$$n_0^{\mathcal{T}} - n_1^{\mathcal{T}} + n_2^{\mathcal{T}} = +1$$

para qualquer triangulação do plano projetivo.

**4.4. Caso da garrafa de Klein.** O caso da garrafa de Klein é análogo ao caso do toro. Sendo uma triangulação  $\mathcal{T}$  da garrafa de Klein, escolhamos um meridiano  $M$  e um paralelo  $P$  e definimos uma sub-triangulação  $\mathcal{T}'$  de  $\mathcal{T}$  compatível com  $M$  e  $P$ . O corte ao longo de  $M$  e  $P$  permite obter uma representação planar  $K$  da garrafa de Klein como um retângulo triangulado com identificações na borda. Na borda, temos  $n_1 = n_0 + 1$ . Então, pelo teorema 3.1, temos

$$n_0^{\mathcal{T}} - n_1^{\mathcal{T}} + n_2^{\mathcal{T}} = 0$$

para qualquer triangulação da garrafa de Klein.

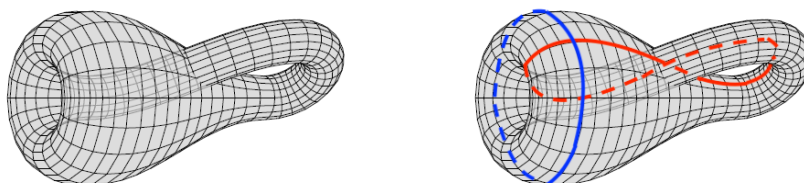
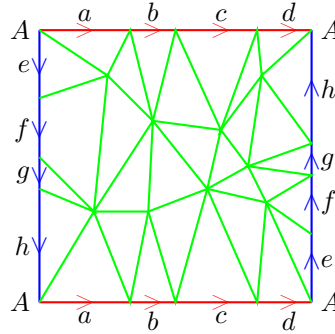


FIGURA 48. A garrafa de Klein e os cortes.

FIGURA 49. Uma representação planar  $K$  da garrafa de Klein.

4.5. **Caso do toro pinçado.** Nem toda superfície com singularidades admitem uma representação planar. O toro pinçado é um exemplo de superfície com singularidades que admite tal representação planar.

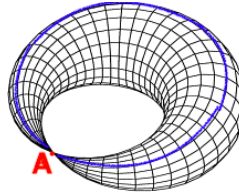


FIGURA 50. O toro pinçado

O toro pinçado é uma superfície de parametrização cartesiana em  $\mathbb{R}^3$ :

$$\begin{cases} x = (a + b \cos(v) \cos(\frac{1}{2}u)) \cos(u) \\ y = (a + b \cos(v) \cos(\frac{1}{2}u)) \sin(u) \\ z = b \sin(v) \cos(\frac{1}{2}u) \end{cases}$$

onde  $a$  e  $b$  são os grande e pequeno raios respectivamente.

Seja  $\mathcal{T}$  uma triangulação qualquer do toro pinçado. Escolhemos um “paralelo”  $P$  passando pelo ponto singular  $A$  do toro pinçado. Definimos uma sub-triangulação  $\mathcal{T}'$  de  $\mathcal{T}$  compatível com  $P$ . O corte ao longo de  $P$  permite obter uma representação planar  $K$  do toro pinçado (figura 51) com identificações na borda  $K_0$ . Observamos que o ponto  $A$  esta duplicado. Na borda, temos  $n_0^{K_0} - n_1^{K_0} = 0$ . Então, pelo teorema 3.1, temos

$$n_0^{\mathcal{T}} - n_1^{\mathcal{T}} + n_2^{\mathcal{T}} = +1$$

para qualquer triangulação do toro pinçado.

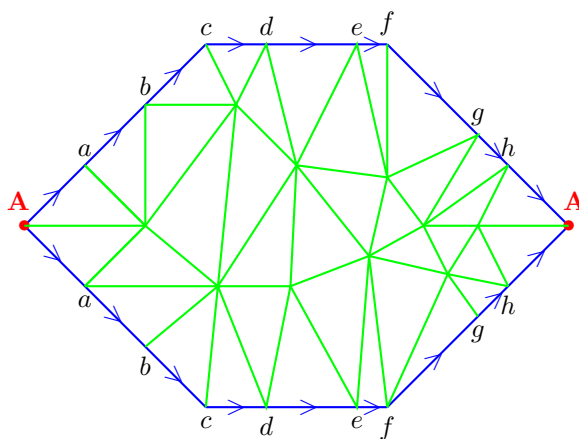


FIGURA 51. Uma representação planar  $K$  do toro pinçado.

REFERÊNCIAS

[Bra] H.R. Brahana, *Systems of circuits on two-dimensional manifolds*, Ann. Math. 23 (1921), 144-168.

[BT] J.-P. Brasselet e Thuy, N.T.B., *Teorema de Poincaré-Hopf*, C.Q.D.- Revista Eletrônica Paulista de Matemática. Bauru, v. 16, pp. 134–162, dez. 2019.

[BW] G.E. Bredon and J. W. Wood, *Non-orientable surfaces in orientable 3-manifolds*, Inventiones Mathematicae, Vol. 7, no 2, 1969, pp. 83—110.

[BM] H. Bruggesser and P. Mani, *Shellable decompositions of cells and spheres*, Math. Scand. 29 (1971), 197-205.

[Ca1] A.L. Cauchy, *Recherches sur les polyèdres*, 1<sup>er</sup> Mémoire lu à a la première classe de l’Institut, en Février 1811, par A.L. Cauchy, Ingénieur des Ponts et Chaussées. Journal de l’Eocle Polytechnique, Volulme 9, (1913) 68 – 86.

[Ca2] A.L. Cauchy, *Sur les polygones et les polyèdres*, Second Mémoire lu à a la première classe de l’Institut, le 20 Janvier 1812, par A.L. Cauchy, Ingénieur des Ponts et Chaussées. Journal de l’Eocle Polytechnique, Volulme 9, (1913) 87 – 98.

[Cel] Cellule de Géométrie, *Relation d’Euler et les polyèdres sans “trou”*, Equipe de la Cellule de Géométrie de l’UMONS et de la Haute Ecole de la Communauté Française en Hainaut.  
[http://www.cellulegeometrie.eu/documents/pub/pub\\_12.pdf](http://www.cellulegeometrie.eu/documents/pub/pub_12.pdf)

[CR] R. Courant and H. Robbins, *What Is Mathematics?: An Elementary Approach to Ideas and Methods*, London: Oxford University Press. 1941. 2nd edition, with additional material by Ian Stewart. New York: Oxford University Press. 1996.

[dJ1] E. de Jonquières, *Note sur un Mémoire de Descartes longtemps inédit et sur les titres de son auteur à la priorité d’une découverte dans la théorie des polyèdres*. Compte-Rendus des Séances de l’Académie des Sciences 110, 1890, pp. 261–266.

[dJ2] E. de Jonquières, *Écrit posthume de Descartes sur les polyèdres*, Compte-Rendus des Séances de l’Académie des Sciences 110, 1890, pp. 315–317.

[dJ3] E. de Jonquières, *Écrit posthume de Descartes. De solidorum elementis. Texte latin (original et revu) suivi d’une traduction française avec notes*, Mémoire présenté à l’Académie des sciences dans sa séance du 31 mars 1890, série 45, pp. 325–379.

[De] R. Descartes, *De solidorum elementis*, Œuvres de Descartes, vol 10, Paris 1908, pp. 256–276.

[DH] M. Dehn und P. Heegard, *Analysis Situs*, Enzyklopädie der Mathematischen Wissenschaften, III AB 3, 153–220 (Leipzig, Teubner, 1907).

[vD] W. von Dyck, *Beiträge zur Analysis Situs I*, Mathematische Annalen, 32, pp. 457–512 (1888).

[Epp] D. Eppstein, *Geometry Junkyard Twenty Proofs of Euler Formula*,  
<https://www.ics.uci.edu/~epstein/junkyard/euler/>

[Eu1] L. Euler, *Leonard Euler und Christian Goldbach, Briefwechsel, 1729-1764*, Heransgegeben und eingeleitet von A.P. Juškevič und E. Winter, Berlin Akademie-Verlag 1965.

[Eu2] L. Euler, *Elementa doctrinae solidorum*, 1750. Novi Comment. Acad. Sc. Petrop. t.4 Saint Pétersbourg, 1758, pp. 72–93.

- [Eu3] L. Euler, *Demonstratio nonnularum insignium proprietatum, quibus solida hedris planis inclusa sunt praedita*, 1751. Novi Comment. Acad. Sc. Petrop. t.4 Saint Pétersbourg, 1758, pp. 94–108.
- [Eve] H. Eves, *An introduction to the History of Mathematics*, 1953. Saunders Series (6th edition 1990).
- [Fo] L.-A. Foucher de Careil, *Œuvres inédites de Descartes précédées d'une introduction sur la méthode*, 2 volumes, Paris, 1859, 1860.
- [FR] C. Francese and D. Richardson, *The flaw in Euler's proof of his polyhedral formula*, The American monthly, vol 114, no 4, april 2007, pp. 286–296.
- [GX] J. H. Gallier and D. Xu, *A Guide to the Classification Theorem for Compact Surfaces*, Geometry and Computing Book 9, Springer, 2013.
- [Ha] A. Hatcher, *Algebraic Topology*, Cambridge University Press, 2002.
- [HC] D. Hilbert und S. Cohn-Vossen, *Anschauliche Geometrie*, Springer, (1932), English version *Geometry and the Imagination* AMS Chelsea Publishing, (1952).
- [Jo] C. Jordan, *Sur la déformations des surfaces*, Journal de Mathématiques Pures et Appliquées, 2ème série, tome XI, pp. 105–109, 1866.
- [Kirk] A. Kirk, *Euler's polyhedron formula*, Plus Magazine... living mathematics. 1997–2009, Millennium Mathematics Project, University of Cambridge.  
<https://plus.maths.org/content/os/issue43/features/kirk/index>
- [Lak] I. Lakatos, *Proofs and Refutations*, Cambridge University Press (1976).
- [Leb] H. Lebesgue, *Remarques sur les deux premières démonstrations du théorème d'Euler relatif aux polyèdres*, Bulletin de la S. M. F., Tome 52 (1924), pp 315-336.
- [Leg] A. M. Legendre, *Éléments de géométrie*, Paris, 1794.
- [Lhu] S.A.J. Lhuilier, *Mémoire sur la polyédrométrie, contenant une démonstration du théorème d'Euler sur les polyèdres, et un examen de diverses exceptions auxquelles ce théorème est assujetti*, Gergonne Ann. Math. 3, 1812, p.169.
- [Lie] W. Lietzmann, *Visual Topology*, (translated from the German by M. Bruckheimer), American Elsevier, NY 1969, Chatto and Windus, London 1965.
- [Li] E. Lima, *A característica de Euler-Poincaré*, Matemática Universitária, Sociedade Mathematica Brasileira, No 1, Junho 1985, pp. 47–62.
- [Li2] E. Lima, *O Teorema de Euler sobre Poliedros*, Matemática Universitária, Sociedade Mathematica Brasileira, No 2, Dezembro 1985, pp. 57–74.
- [Mal1] J. Malkevitch, *Euler's Polyhedral Formula*, Dec. 2004, AMS Feature Column. Monthly essays on mathematical topics.
- [Mal2] J. Malkevitch, *Euler's Polyhedral Formula II*, Jan. 2005, AMS Feature Column. Monthly essays on mathematical topics.
- [Mal3] J. Malkevitch, *Gifts from Euler's Polyhedral Formula*, Graph Theory Notes, York College.  
<https://www.york.cuny.edu/~malk/Mymaterials/gifts2.pdf>
- [Mas] W. S. Massey, *A Basic Course in Algebraic Topology*, New York: Springer-Verlag, 1997.
- [Mo] A.F. Möbius, *Theorie der elementaren Verwandtschaft*, Abh. der Kön. Sächsische Ges. der Wiss. 15, pp. 18–57 (1863).
- [Po2] H. Poincaré, *Sur l'Analysis situs*, CRAS vol. 115 (1892), pp 633-636.
- [Po3] H. Poincaré, *Sur la généralisation d'un théorème d'Euler relatif aux polyèdres*, CRAS vol. 117 (1893), pp. 144-145.
- [Rad] T. Radó, *Über den Begriff der Riemannschen Fläche*, Acta Litt. Sci. Szeged. 2 (1925), 101 – 121.
- [Ri] D. Richeson, *Euler's Gem: The Polyhedron Formula and the Birth of Topology*, Princeton University Press, 2008.
- [Sam] H. Samelson, *In defense of Euler*, Enseign. Math. (2) 42 (3-4), 1996, 377-382
- [ST] H. Seifert und W. Threlfall, *Lehrbuch der Topologie*. VII, Leipzig u. Berlin 1934, B. G. Teubner. English version *A Textbook of Topology*, Pure and Applied Mathematics, A Series of Monographs and Textbooks, Academic Press, 1980.
- [Sin] D.A. Singer, *Geometry: Plane and Fancy*, Undergraduate Texts in Mathematics, 1998, Springer.
- [Zie] G. M. Ziegler, *Lectures on polytopes*, Graduate Texts in Mathematics, Vol. 152. Springer-Verlag, New York, 1995.

CNRS I2M E AIX-MARSEILLE UNIVERSITÉ, MARSEILLE, FRANCE.

*E-mail address:* [jean-paul.brasselet@univ-amu.fr](mailto:jean-paul.brasselet@univ-amu.fr)

UNESP, UNIVERSIDADE ESTADUAL PAULISTA, “JÚLIO DE MESQUITA FILHO”, SÃO JOSÉ DO RIO PRETO, BRASIL

*E-mail address:* [bich.thuy@unesp.br](mailto:bich.thuy@unesp.br)